

Л. В. ПУСТОВАЛОВ

Доктор геолого-минералогических наук
Профессор Московского нефтяного института

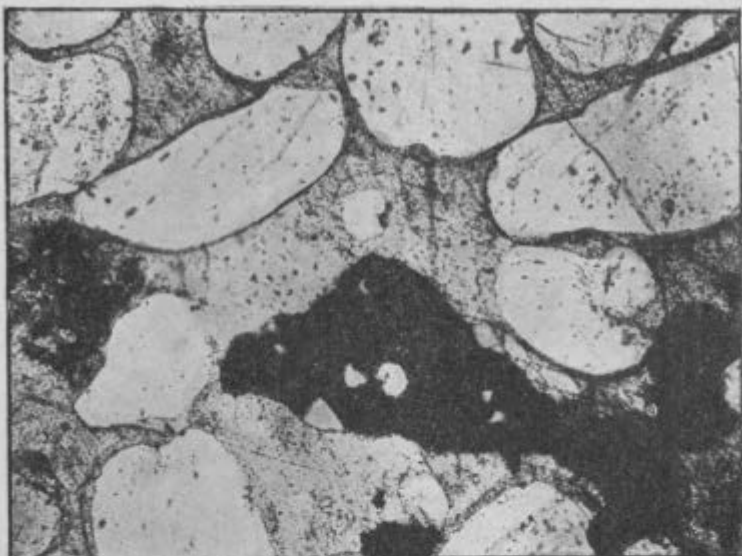
ПЕТРОГРАФИЯ ОСАДОЧНЫХ ПОРОД

ТАБЛИЦЫ

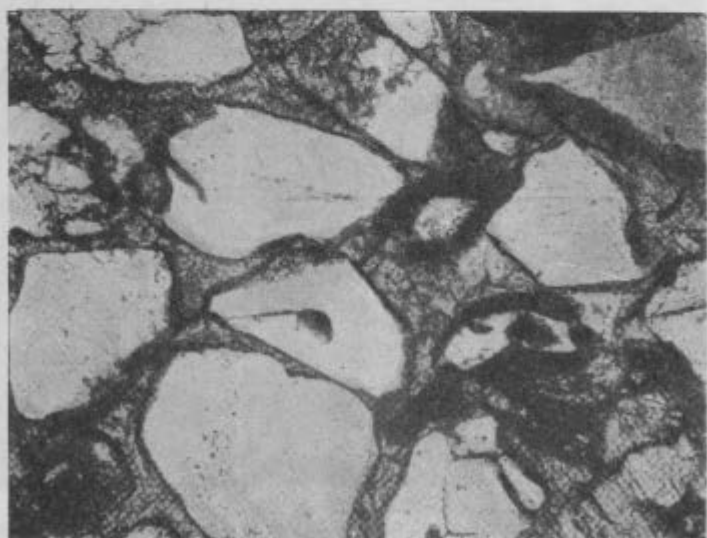


ГОСУДАРСТВЕННОЕ НАУЧНО-ТЕХНИЧЕСКОЕ ИЗДАТЕЛЬСТВО
НЕФТЯНОЙ И ГОРНО-ТОПЛИВНОЙ ЛИТЕРАТУРЫ

Москва 1940 Ленинград



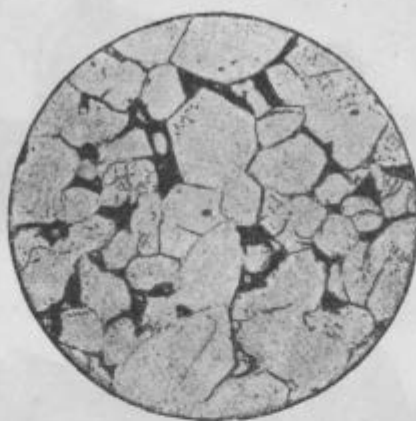
Фиг. 1. Песчаник с окатанными и полуокатанными кварцевыми зернами, Швеция. (По А. Гаддингу, 1929).



Фиг. 2. Песчаник с остроугольными (угловатыми) кварцевыми зернами, Швеция. (По А. Гаддингу, 1929).

Петрография осадочных пород, ч. II.

ТАБЛИЦА II

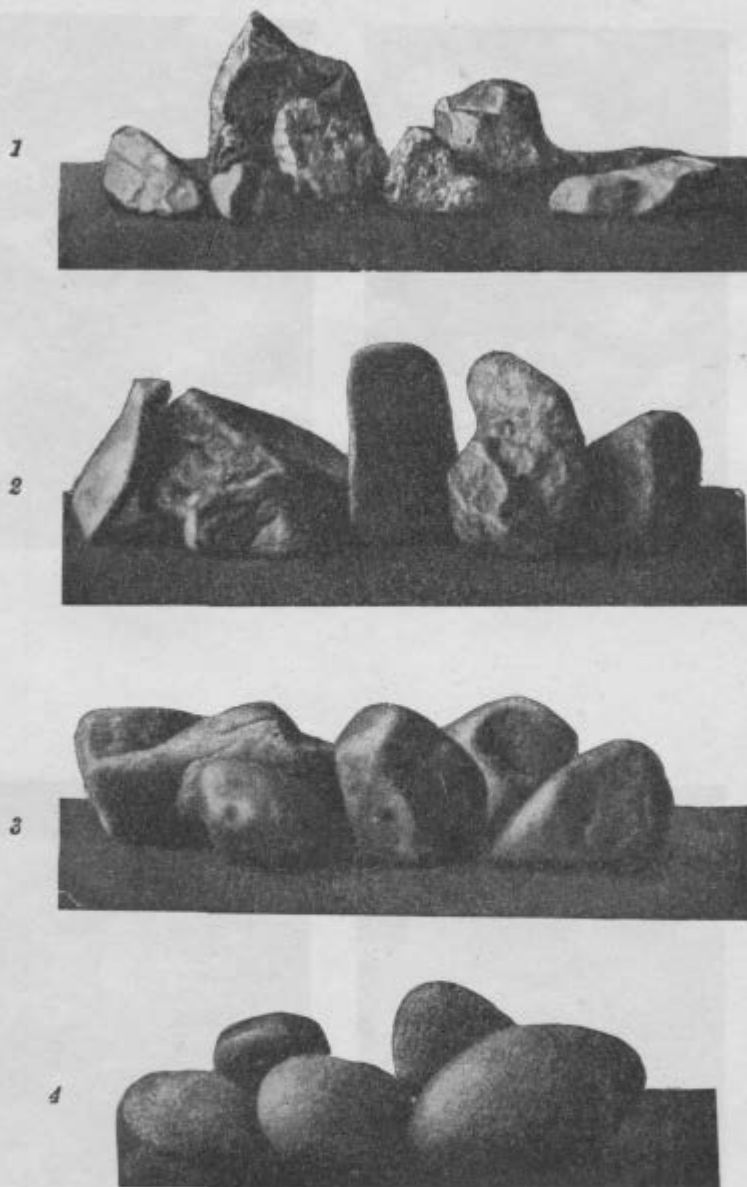


Фиг. 1. Кварцит с регенерированными зернами кварца.



Фиг. 2. Песчаник с корродированными кварцевыми зернами, Швеция. (По А. Гаддингу, 1929).

ТАБЛИЦА III



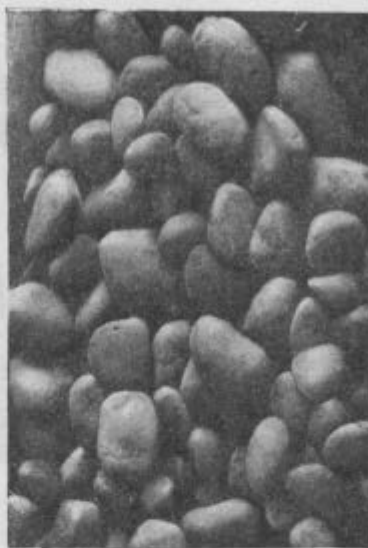
Фиг. 1. Развличная степень окатанности минеральных обломков. (По Апрудову, 1937).

- 1 — обломки остроугольные;
- 2 — обломки плохо окатанные;
- 3 — обломки среднеокатанные;
- 4 — обломки хорошо окатанные

ТАБЛИЦА IV



1



2



3



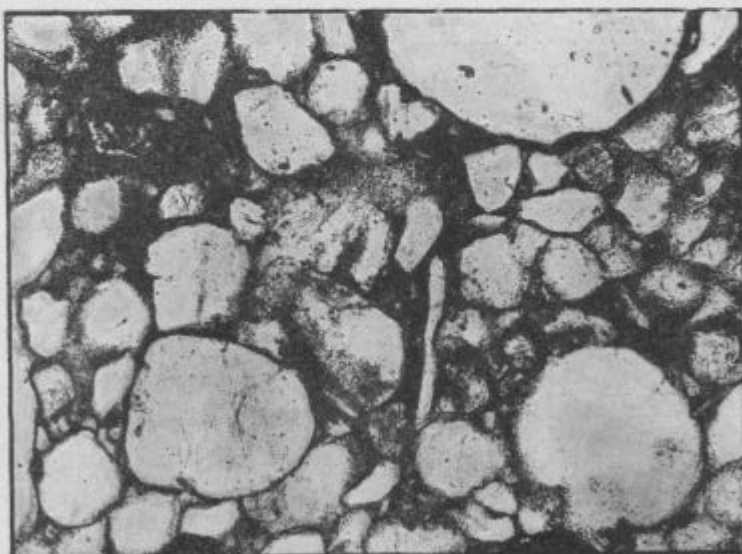
4

Фиг. 1. Различная степень окатанности минеральных обломков. (По Апрелову, 1937).
1 — обломки остроугольные; 2 — обломки среднекруглые; 3 — обломки плохо окатанные; 4 — обломки хорошо окатанные.

ТАБЛИЦА V

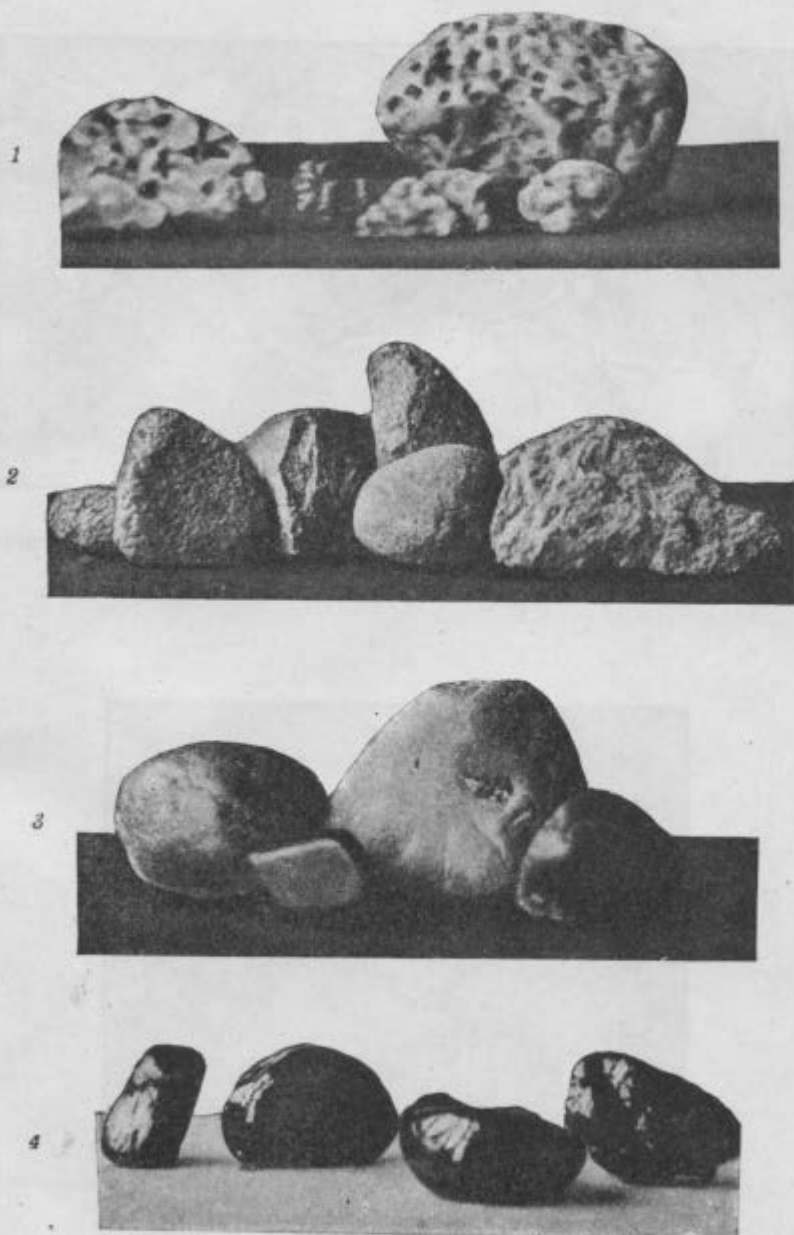


Фиг. 1. Корродированные зерна; верхне-пермские отложения Приуралья.



Фиг. 2. Песчаник с округлыми крупными и остроугольными мелкими кварцевыми зернами, Лапландия.
(По А. Гаддингу, 1929).

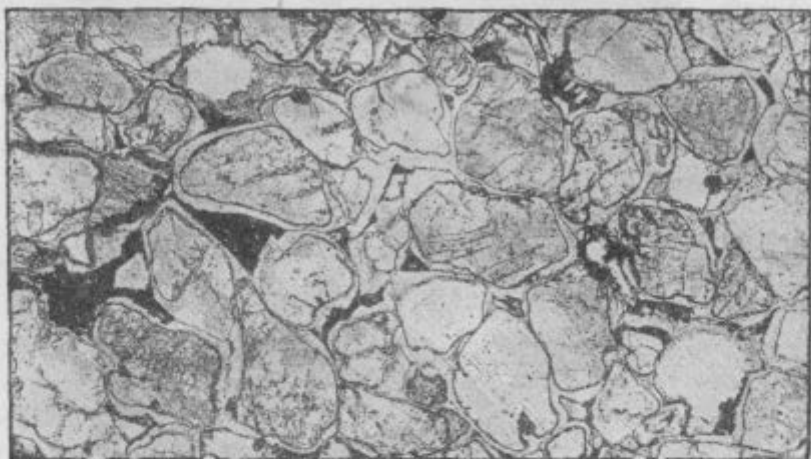
ТАБЛИЦА VI



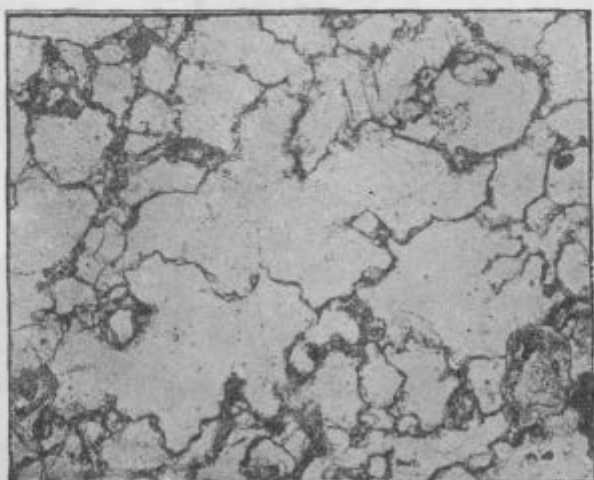
Фиг. 1. Характер поверхности минеральных обломков.

1 — корродированная, 2 — микронородированная (слева) и шероховатая (справа), 3 — гладкая, 4 — полированная.
(По Апродову, 1937).

ТАБЛИЦА VII

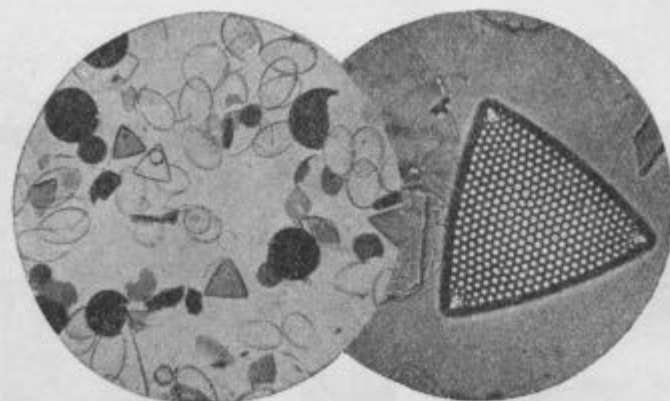


Фиг. 1. Кварцит с цементом регенерации (разрастания). Отчетливо видны первоначальные контуры зерен. (По Л. Кайэ, 1916).

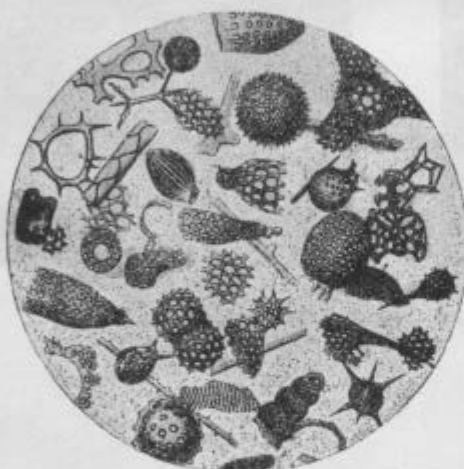


Фиг. 2. Итанолумит. (Песчаник с цементом разрастания; контуры первоначальных зерен не сохранились). По Л. Кайэ, 1916.

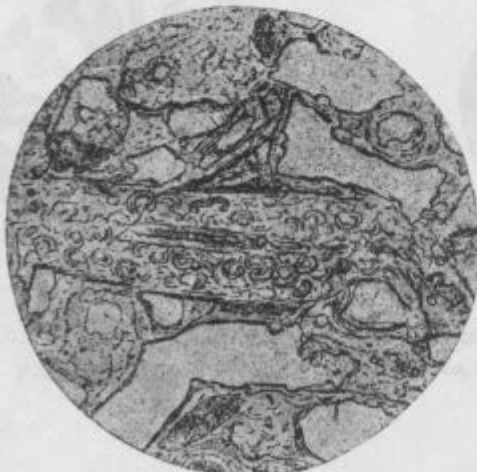
ТАБЛИЦА VIII



Фиг. 1. Диатомовые водоросли. Увел. 95 (слева) и 425 (справа).
(Из материалов Каф. петрограф. осад. пород МНИ).

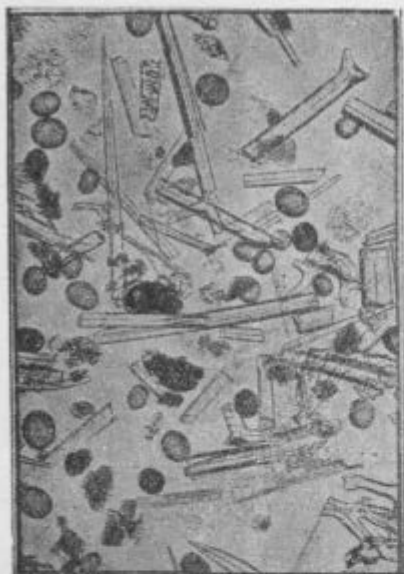


Фиг. 2. Радиолярии.
(По Д. Мёррею и
Е. Филиппи, 1908).

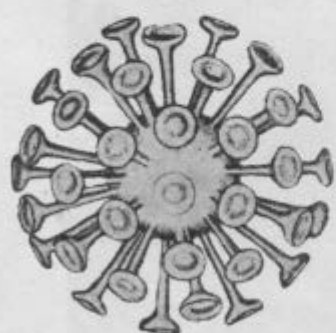


Фиг. 3. Спонголит. Опаловые спикулы губок обнаруживают образование серповидных полостей (faculae); виден центральный канал. Увел. 100. Кубанский нефтегазовый район, Северный Кавказ.
(По А. Н. Заварецкому, 1932).

ТАБЛИЦА IX



Фиг. 1. Спikuли губок. (По Л. Кайз, 1916).



1



2

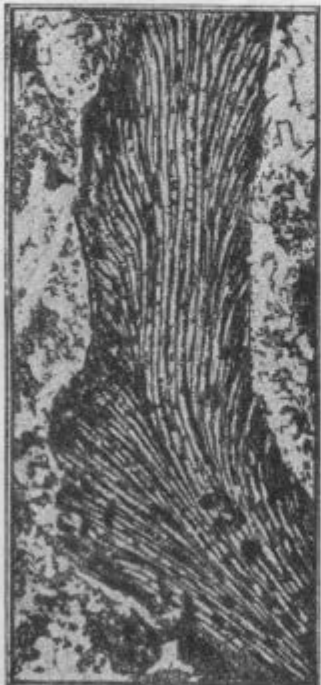
Фиг. 2. Известковые водоросли:

1 — «рабдосфера», 2 — «конкофера». Увел. он. 900. (По Л. Кайз, 1916)

ТАБЛИЦА X



Фиг. 1. Кокколиты. (По Л. Кайэ, 1916).

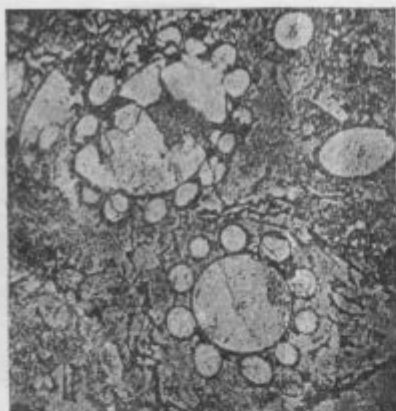


Фиг. 2. Литотамния. Увел.
50. (По Л. Кайэ, 1916).



Фиг. 3. Харовая
водоросль.
(По Л. Кайэ, 1916).

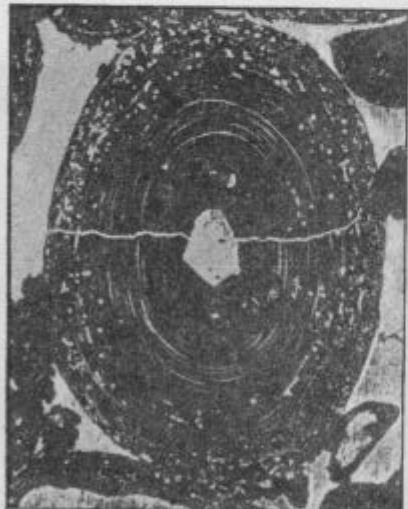
ТАБЛИЦА XI



Фиг. 1. Микрофотография харовой водоросли. Увел. 45.
(По Л. Кайз, 1916).



Фиг. 2. Сверлящие водоросли в обломке моллюска.
(По Л. Кайз, 1916).



Фиг. 3. Следы сверлящих водорослей в железистом оолите.
(По Л. Кайз, 1916).



Фиг. 4. Мел с фораминиферами типа текстуляридей.
(По Л. Кайз, 1916).

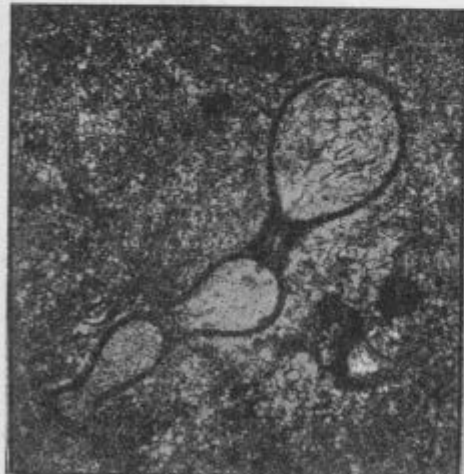
ТАБЛИЦА XII



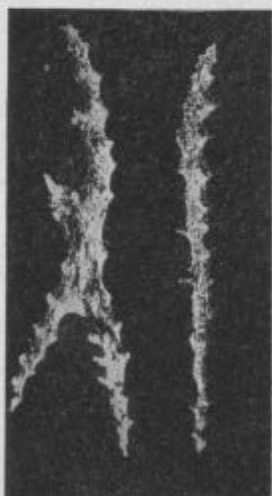
Фиг. 1. Известняк с фораминиферами типа роталид; каменноугольные известники Донбасса.
(Фот. В. Маслова).



Фиг. 2. Коралл. Увел. ок. 12.
(Из материалов Каф. петрогр. осад. пород МНИ).



Фиг. 3. Прикрепляющаяся фораминифера среди мелковернистого кальцита; Донбасс. (Фот. В. Маслова).



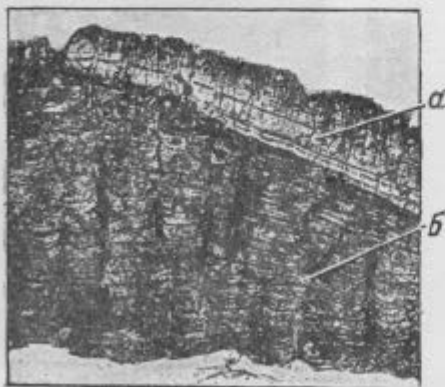
Фиг. 4. Иглы альционарий.
(По Л. Кайз., 1916).



Фиг. 1. Мишанка.
(По Л. Кайз, 1916).

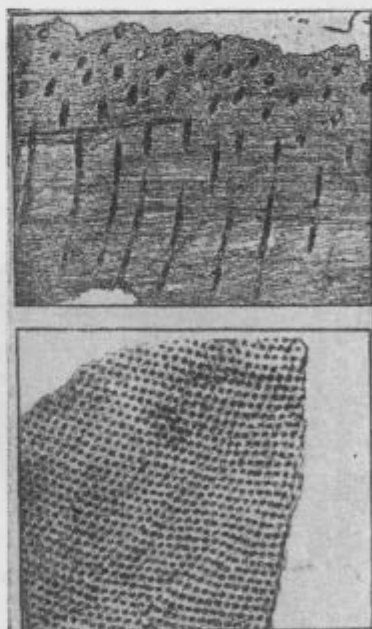


Фиг. 2. Окремнелые мишанки;
верхнепермские отложения, Горько-
вский край. (Из материалов
Каф. петрогр. осад. пород МНИ).



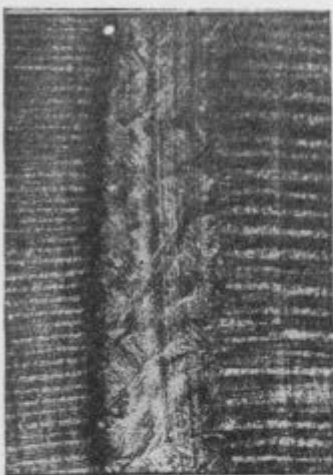
Фиг. 3. Разрез раковины брахио-
поды:

a — наружный пластинчатый и *b* — вну-
тренний призматический слои.
(По Л. Кайз, 1916).



Фиг. 4. Каналы в раковине
брахиоподы (разрезы в разных
направлениях).

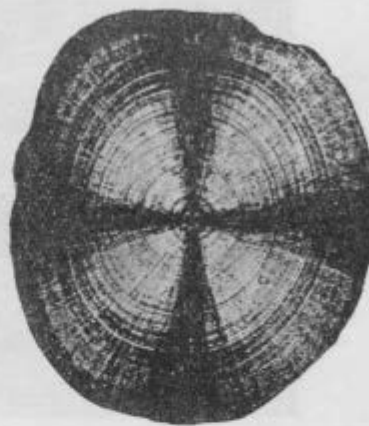
По Л. Кайз, 1916.



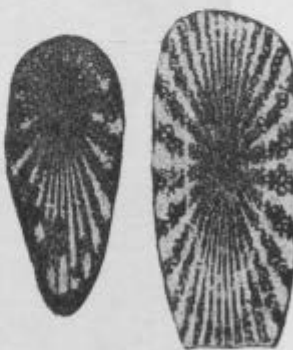
Фиг. 2. Разрез раковины гастropоды.
(По Л. Кайо, 1916).



Фиг. 1. Остракоды. Увел. ок. 40.
(По Л. Кайо, 1916).

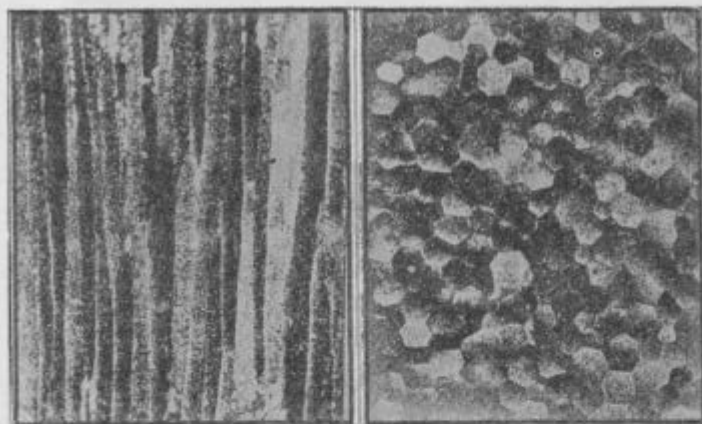


Фиг. 4. Разрез через ростр белемнита, в поляризованным свете.
(По Л. Кайо, 1916).

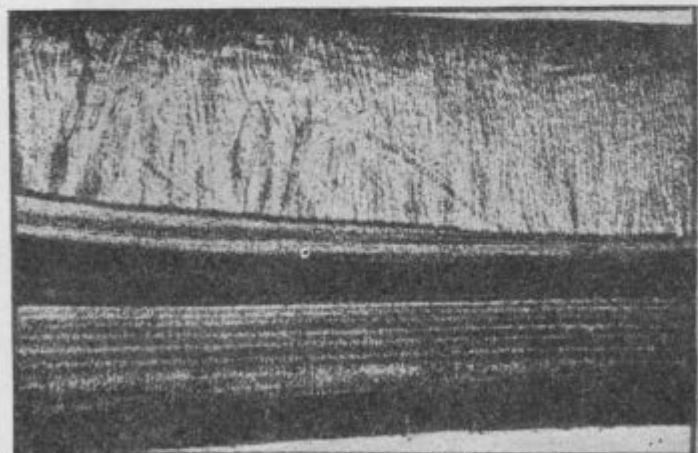


Фиг. 3. Поперечные разрезы
игл морских ежей.
(По Л. Кайо, 1916).

ТАБЛИЦА XV

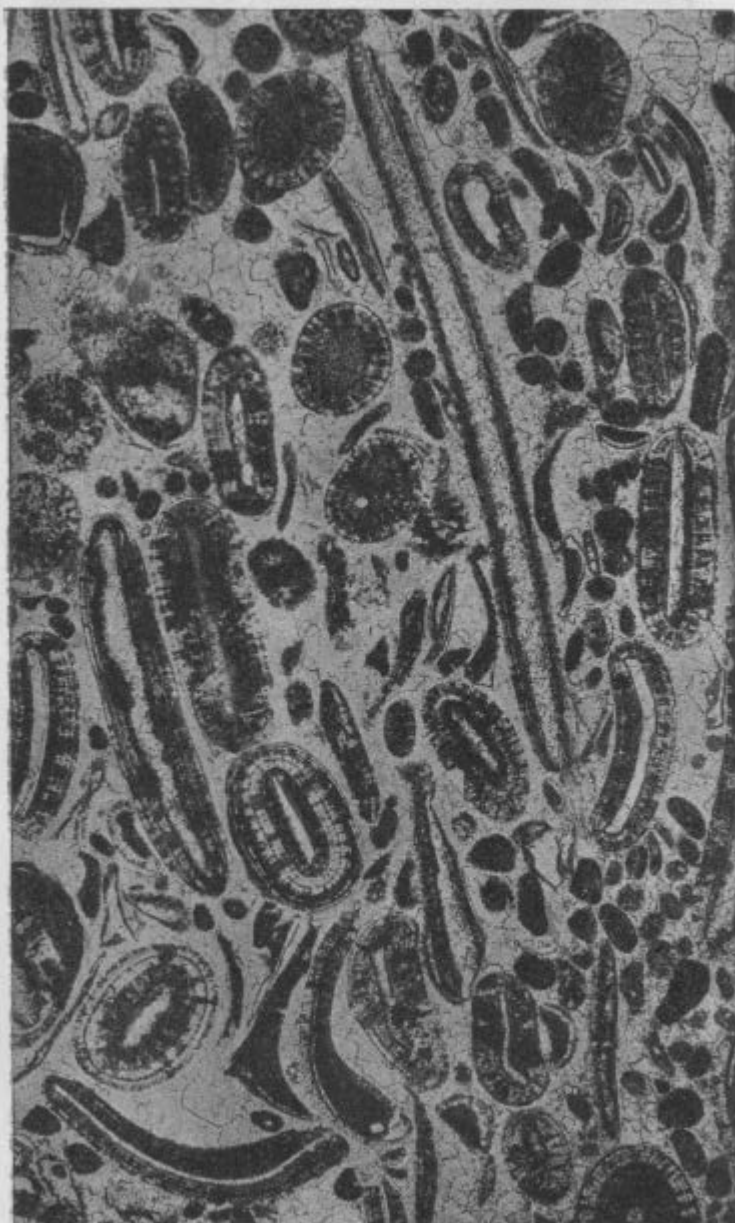


Фиг. 1. Разрезы через раковину иноцерамы.
(По Л. Кайэ, 1916).



Фиг. 2. Разрез раковины пелециподы. (По Л. Кайэ, 1916).

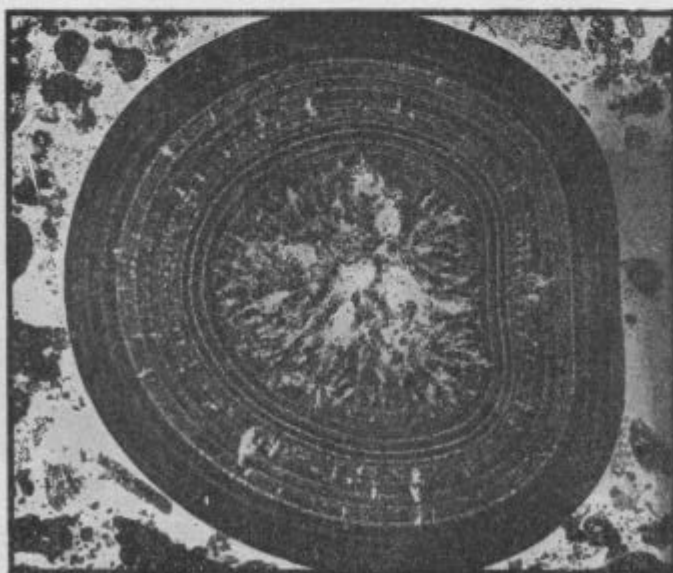
ТАБЛИЦА XVI



Фиг. 1. Оолитовый известник. (По Л. Кайю, 1935).

Петрография осадочных пород, ч. II.

ТАБЛИЦА XVII

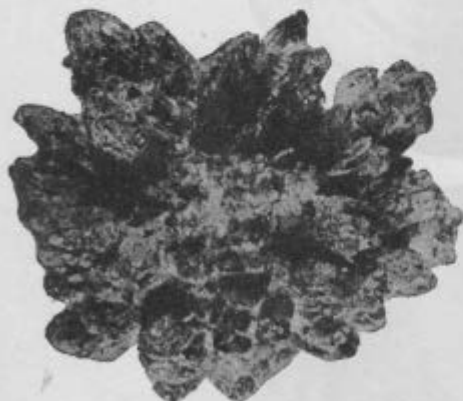


Фиг. 1. Оолиты: слева — известковый пизолит без ядра из накипи; справа — известковые оолиты с внутренним ядром. (По Л. Кайн, 1935).

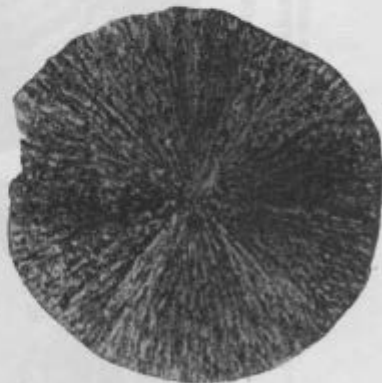
ТАБЛИЦА XVIII



Фиг. 1. Оолитово-сферолитовая структура известняка. (По Л. Кайз, 1935).

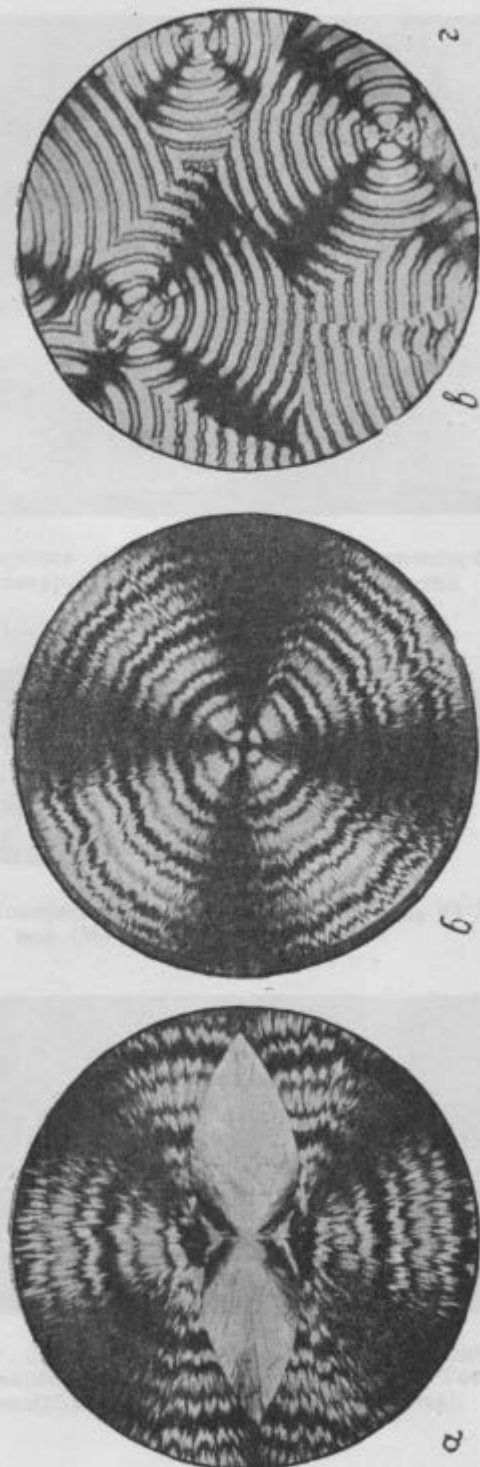


Фиг. 2. Конкреция копьевидного колчедана. Натур. вел.
(Музей Моск. нефт. ин-та).



Фиг. 3. Конкреция марказита.
Натур. вел.

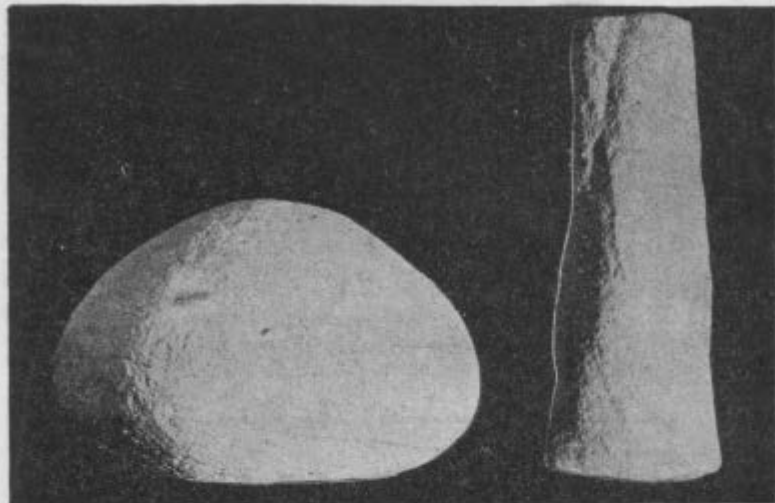
ТАБЛИЦА XIX



Фиг. 1. Микрофотографии искусственных сферулитов:

а — двуистиник малоп-амиды; б — односторонняя отрицательная модификация того же вещества; 2 — двусторонняя отрицательная модификация того же вещества. (По Б. Полкову, 1934).

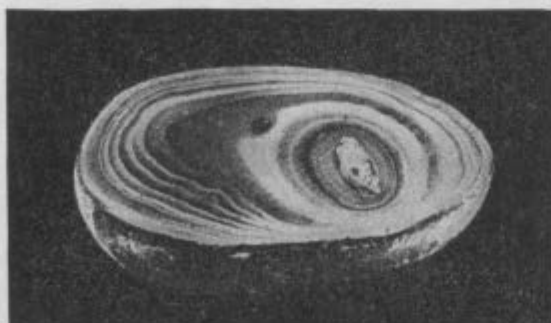
ТАБЛИЦА XX.



Фиг. 1. Конкремции сферической и цилиндрической формы.
 $\frac{1}{5}$ натур. вел. (Музей Моск. нефт. ин-та).



Фиг. 2. Конкремция неправильной формы. $\frac{1}{15}$ натур.
вел (Музей Моск. нефт. ин-та).

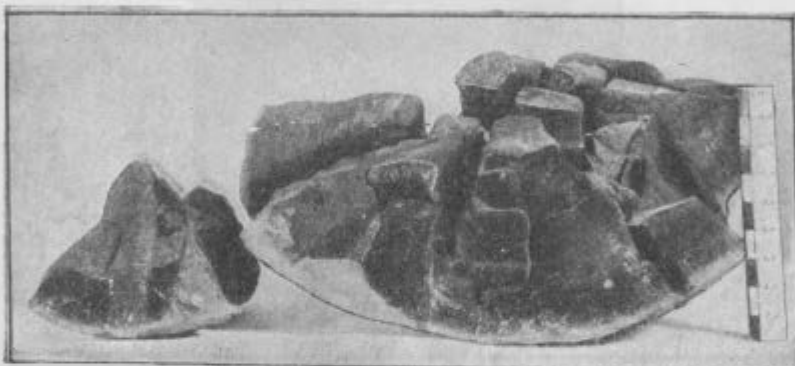


Фиг. 3. Агатовидная кремневая конкреция
из карбонатных верхнепермских пород Тат-
республики. (Музей Моск. нефт. ин-та).

ТАБЛИЦА XXI



Фиг. 1. Скорлуповатая железистая конкремция, Липецкий р-н.
(По Л. В. Пустовалову, 1933).



Фиг. 2. Конкремция-септария сидерита. $\frac{1}{6}$ натур. вел.
(Музей Моск. нефт. ин-та).

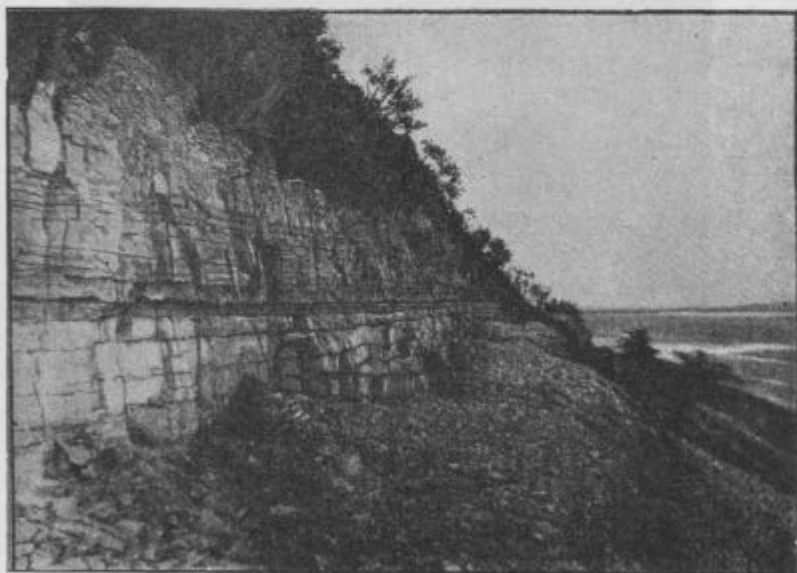


Фиг. 3. Конкремция-септария. (По Ф. Гроуту, 1932).

ТАБЛИЦА XXII

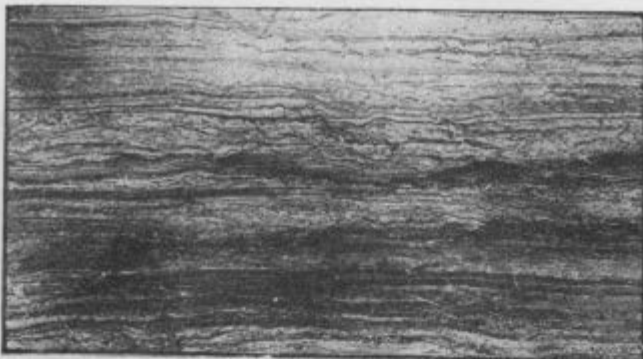


Фиг. 1. Известково-песчаные псевдоконкремции; Камское Приуралье. Ефимятское месторождение волжконскита.
(По Л. В. Пустовалову, 1928).

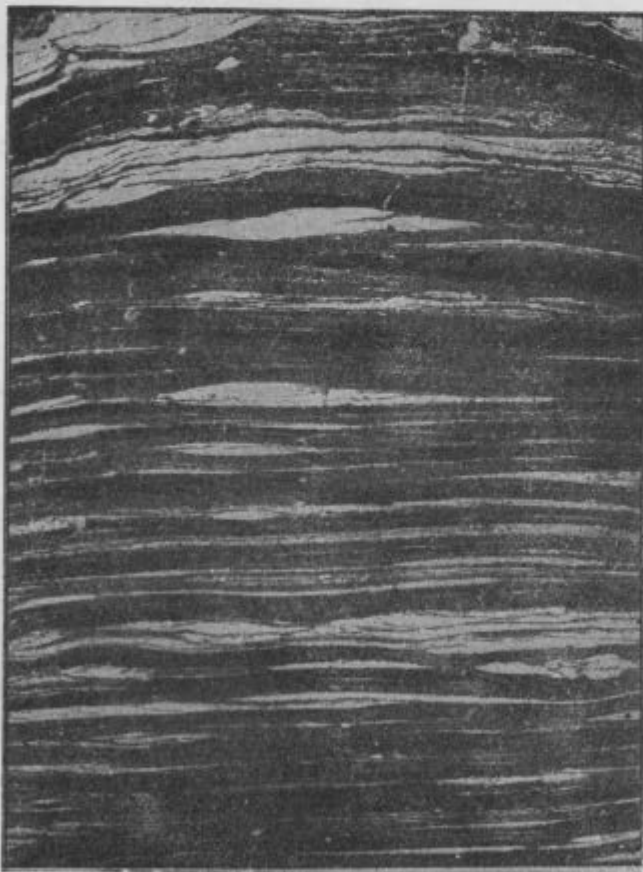


Фиг. 2. Горизонтальная слоистость; казанские карбонатные породы на берегу р. Волги близ г. Свияжска.
(Фот. В. П. Флоренского).

ТАБЛИЦА XXIII



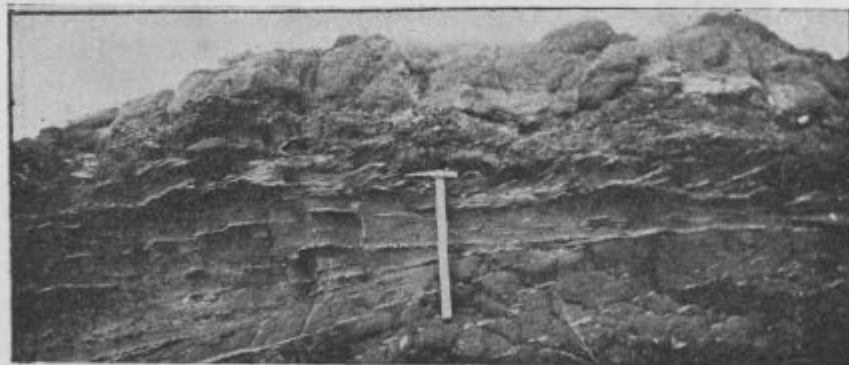
Фиг. 1. Листовато-волнистая слоистость в доломитовом мергеле верхнепермского возраста из Муромского района. Натур. вел.



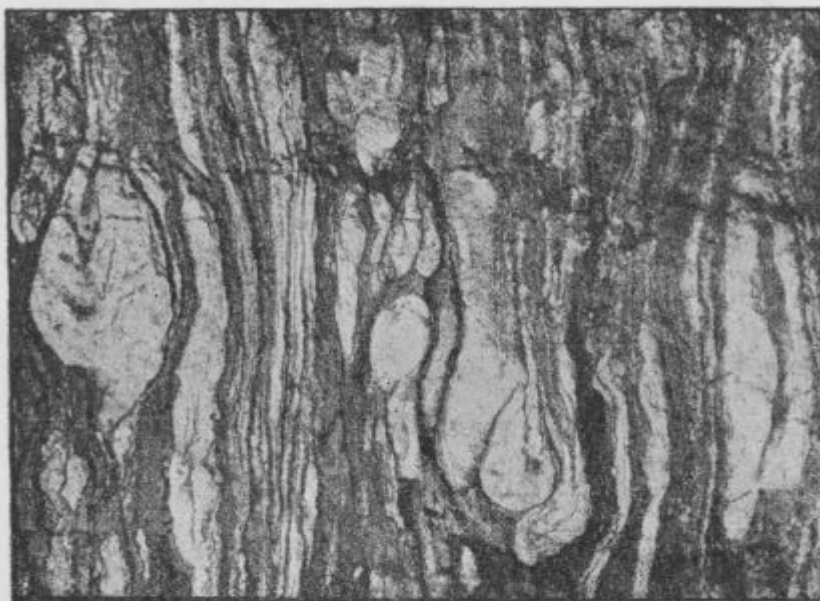
Фиг. 2. Четкообразная или линзовидная слоистость. Светлые слои — песчаный материал, темные слои — глинистый. Натур. вел. (По А. Гаддингу, 1929).



Фиг. 1. Выклинивание красной глины среди верхнепермских песчаников Чкаловской обл.
(Из материалов Каф. петрогр. осад. пород МНИ).



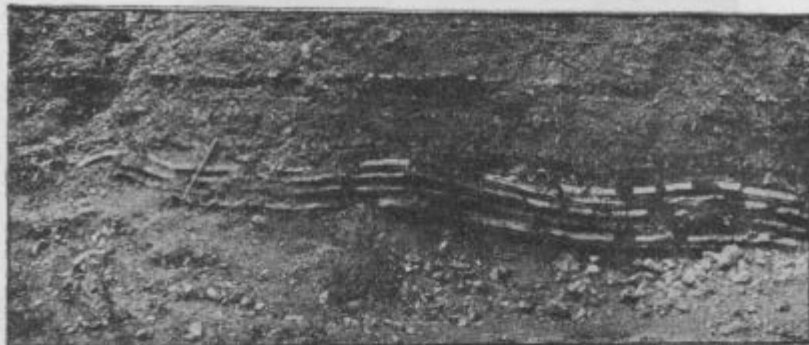
Фиг. 2. Косая слоистость среди верхнепермских пестроцветных отложений. Башкирия. (Из материалов Каф. петрогр. осад. пород МНИ).



Фиг. 1. Текстура пород, подвергшихся подводному оползанию, темное — глина, светлое — песчаник.
(По А. Гаддингу, 1931).



ТАБЛИЦА XXVI



Фиг. 1. Смятие слоев под влиянием подводного оползня. Верхне-пермские красноцветы, Башкирия, р. Нугуш.
(Фот. П. В. Тархова).



Фиг. 2. Деформация горизонтальной слоистости вследствие перехода ангидрита в гипс. Переслаивание доломитов и гипсов в верхах казанского яруса. Окрестности г. Казани.
(Фот. В. П. Флоренского).



Фиг. 1. Знаки ряби; берег р. Волги близ г. Кавани. (Из материалов Каф. петрогр. осад. пород МНИ).

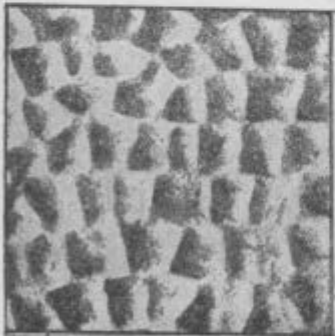


Фиг. 2. Волнистые знаки в поперечном разрезе. Верхне-пермские красноцветы в окрестностях г. Чкалова. (Из материалов Каф. петрогр. осад. пород МНИ).

ТАБЛИЦА XXVIII



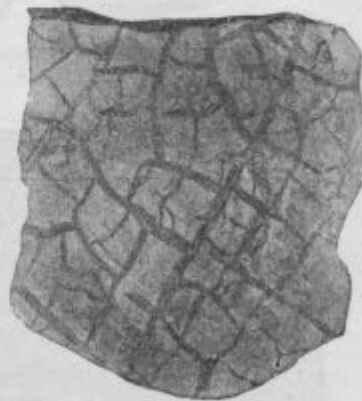
Фиг. 1. Поперечная рыбь.
(По У. Х. Тейхобелу, 1932).



Фиг. 2. Струйчатые желобки на поверхности
третичного песка. Окрестности г. Баку.



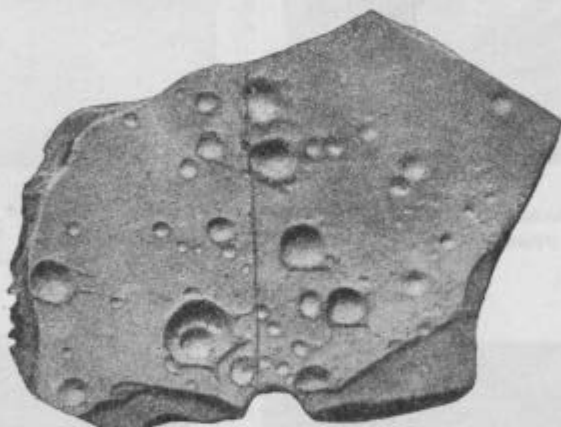
Фиг. 3. Трещины высыхания. Отшлифо-
ванная поверхность алевролита из верх-
немицермских отложений Башкирии. $\frac{1}{4}$
натур. вел. (Музей Моск. нефт. ин-та).



Фиг. 4. Современные трещины высыхания.
Правый берег р. Сылвы близ Кунгурской
пещеры. (Фот. В. И. Данчева).



Фиг. 1. Глинистые «трубочки» на поверхности высохшего песка. (По У. Х. Твенхофелу, 1932).

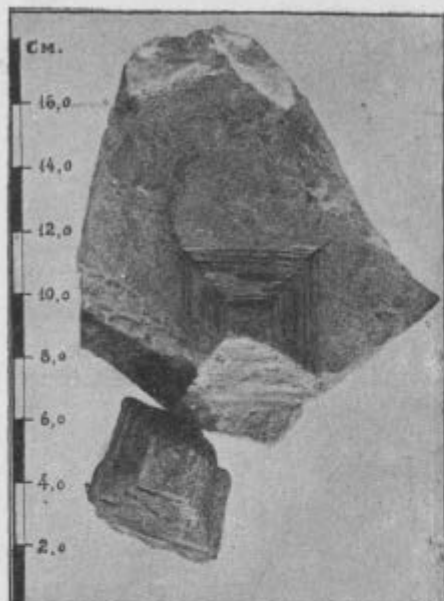


Фиг. 2. Отпечатки капель дождя.
(По К. Андрэ, 1920).



Фиг. 3. Отпечатки ледяных кристаллов.
(По У. Х. Твенхофелу, 1932).

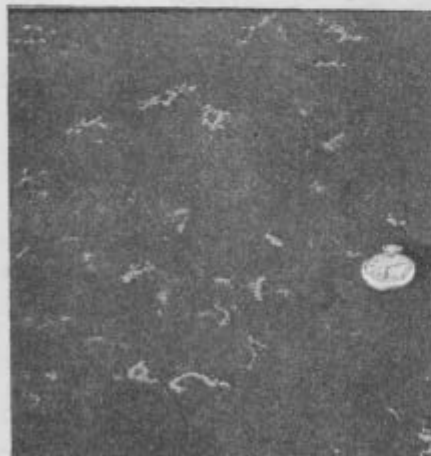
ТАБЛИЦА XXX



Фиг. 1. Отпечаток кристалла каменной соли в доломите. Верхняя пермь, Татария. (Музей Моск. нефт. ин-та).



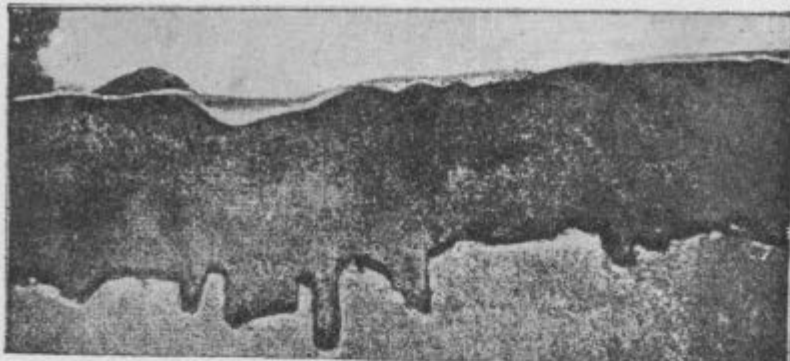
Фиг. 2. Следы животных на поверхности древнего осадка.



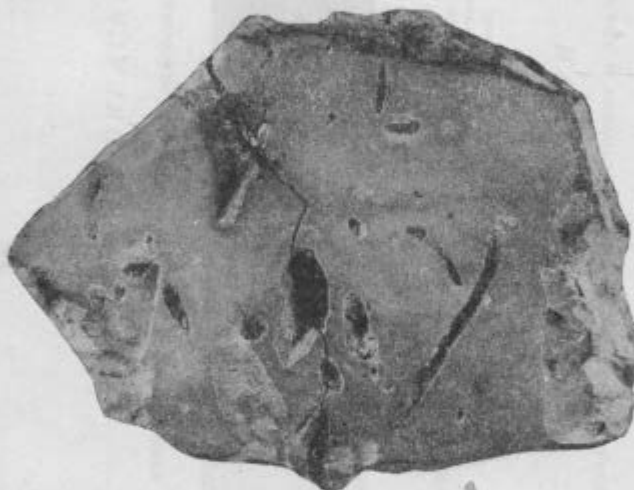
Фиг. 3. Следы червей на поверхности песка; берег р. Волги близ г. Кавани. (Из материалов Каф. петрогр. осад. пород МНИ).



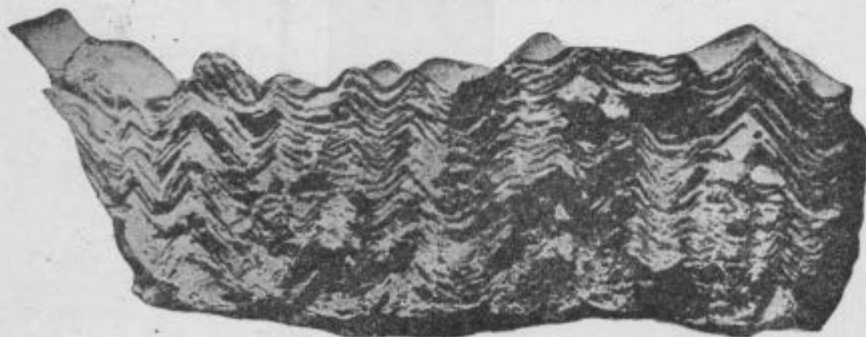
Фиг. 4. Борозды на поверхности песка, возникшие под влиянием колебания растения. Окрестности г. Баку.



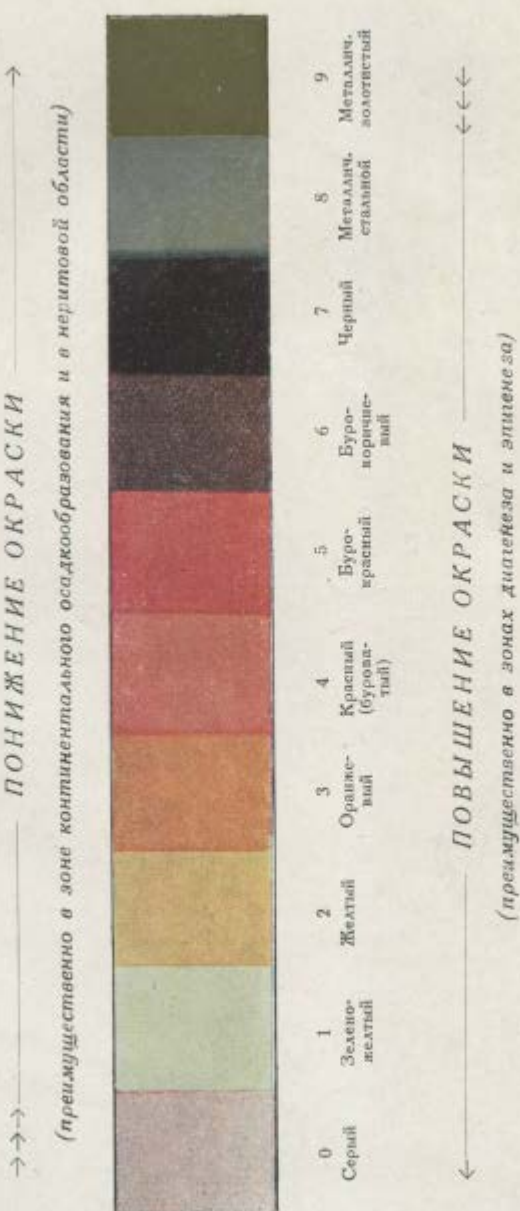
Фиг. 1. Типичный большой стилолитовый шов в салемском известняке района Дарк Холлов, округ Лоренс, Индиана.
(По У. Х. Твенхофелу, 1934).



Фиг. 2: Каверновый кунгурский доломит. Башкирия. Натур. вел. (Музей Моск. нефт. ин-та).



Фиг. 3. Текстура cone-in-cone. (По У. Х. Твенхофелу, 1932).

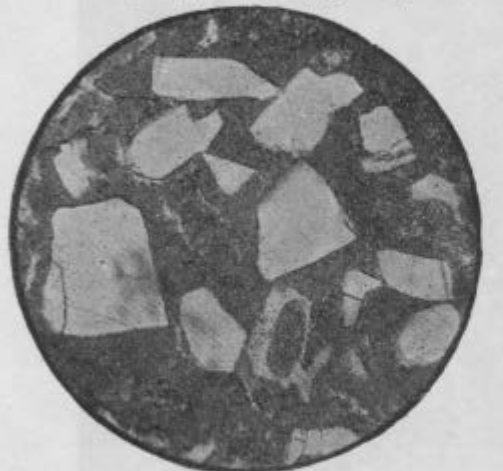


Фиг. 1. Дополнительные цвета к спектру поглощения.

ТАВЛИЦА XXXIII



Фиг. 1. Форма вулканических бомб (слева направо): 1) с наружной «хлебной коркой», 2) с хвостообразным окончанием. 3) закрученная форма. (По А. Н. Заварицкому, 1932).



Фиг. 2. Остроугольная структура вулканического туфа Бурея. (Из материалов Каф. петрогр. осад. пород МНИ).



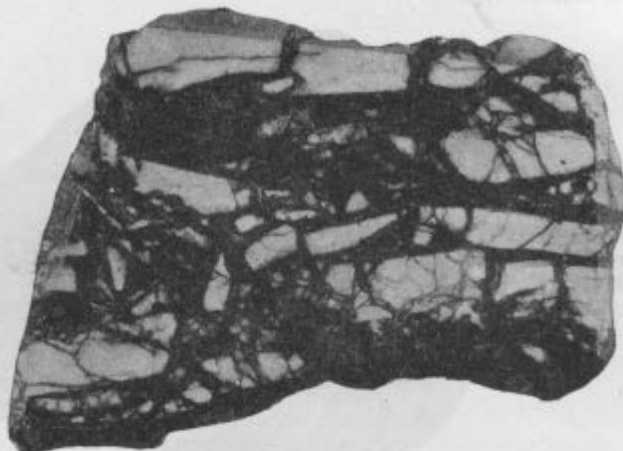
Фиг. 3. Вулканический туф. Увел. 30. (По Г. Розенбушу, 1934).

ТАБЛИЦА XXXIV

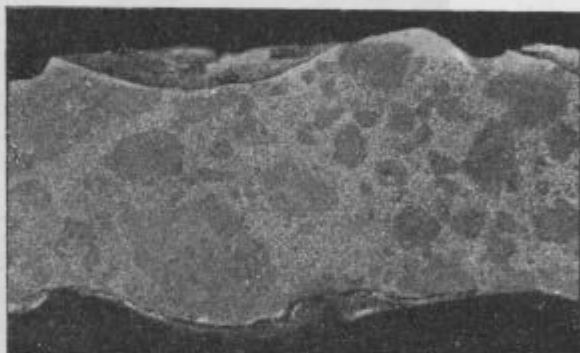


Фиг. 1. Валунный конгломерат. Верхняя пермь. Башкирия.
(Из материалов Каф. петрогр. осад. пород МНИ).

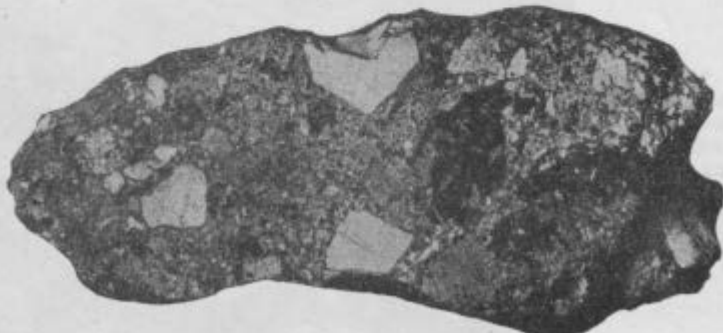
ТАБЛИЦА XXXV



Фиг. 1. Кварцевая брекчия с железистым цементом.
(Музей Моск. нефт. ин-та).



Фиг. 2. Глинистая брекчия с песчаным цементом.
Верхняя пермь, Приуралье.



Фиг. 3. Известковая карстовая брекчия («брекчиевидный
известняк») Самарской Луки. (По М. Ноинскому, 1905).

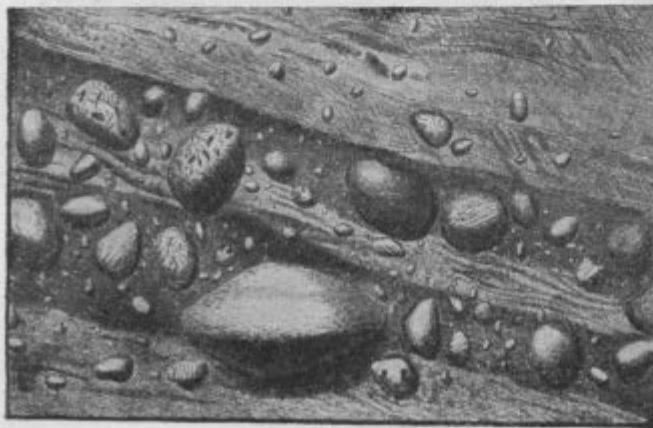
ТАБЛИЦА XXXVI



Фиг. 1.
Доломитовый милюнит (черное — доломит, белое — кальцит).
Натуральной велич.
(Музей Москов. нефт. ин-та).

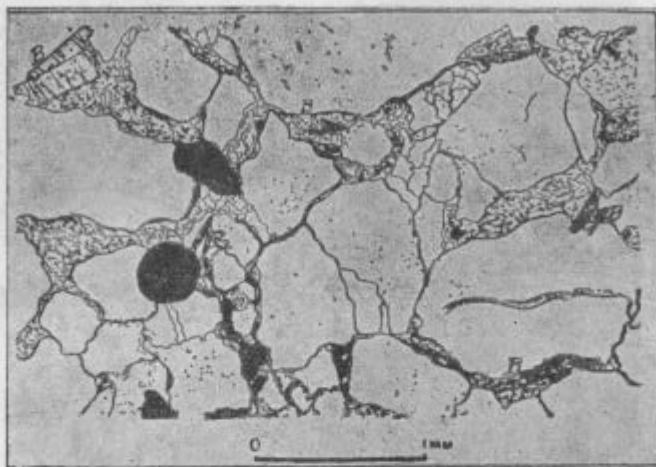


Фиг. 2.
Конгломерат с гальками, «свободно плавающими» в песчаном цементе. Верхняя пермь. Приуралье.
(Музей Моск. нефт. ин-та).



Фиг. 3.
Верхнепалеозойские ледниковые отложения Индостана с валунами гранита, гнейса, сланцев и кварцита. (Из М. Нейманера, 1904).

ТАБЛИЦА XXXVII



Фиг. 1. Золотоносный конгломерат (Южная Африка).
Кварцевая галька, местами раздробленная. Цементи-
рующее вещество — серицит, кварц и незначительное
количество хлорита. Чёрное — конкреции пирита.



Фиг. 2. Псевдоконгломерат. Известняк с *Echinospaera aurantium*.
Натур. вел. (По А. Гаддингу, 1927).

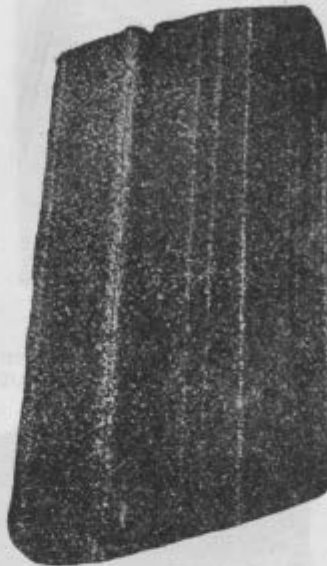
ТАБЛИЦА XXXVIII



Фиг. 2. Китайский
 кварцит под микроско-
 пом. Увел. ок. 25.
(По Мэриллу, из
 Г.Мильнера, 1929).



Фиг. 1. Кварце-
 вый псаммитолит в
 отраженном свете.
(По Л. Цукерман,
 1936).



Фиг. 4. Верхне-пермский аркозовый псаммитолит
 с горизонтальной слоистостью, обусловленной
 разной окраской цемента. Приуралье.
(Музей Моск. нефт. ин-та).

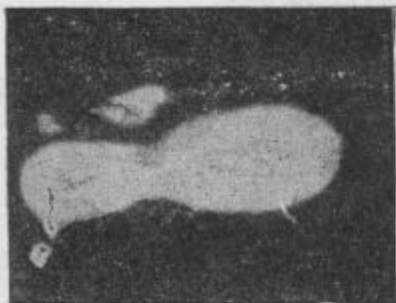


Фиг. 3. Аркозовый
 псаммитолит с ли-
 монитовым цемен-
 том. Никоди +,
(По Л. Кацэ,
 1916).

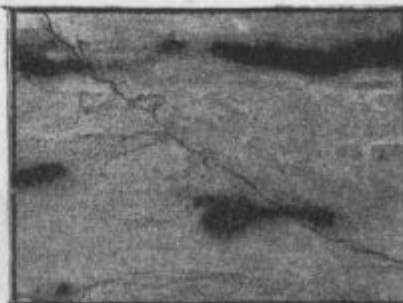
Фиг. 2. Китайский
 кварцит под микроско-
 пом. Увел. ок. 25.
(По Мэриллу, из
 Г.Мильнера, 1929).

Фиг. 4. Верхне-пермский аркозовый псаммитолит
 с горизонтальной слоистостью, обусловленной
 разной окраской цемента. Приуралье.
(Музей Моск. нефт. ин-та).

ТАБЛИЦА XXXIX



A



B

Фиг. 1. Пятнистая окраска пестроцветных алевролитов.
(Фот. В. П. Флоренского).



Фиг. 2. Косая слоистость в пестром алевролите.
Верхняя пермь. Приуралье. Натур. вел.
(Музей Моск. нефт. ин-та).



Фиг. 3. Оолитовый бурый железняк
в отраженном свете. Хонгерское мест-
орождение. Увел. 40.
(По М. Н. Годлевскому, 1932).



Фиг. 4. «Коррозионный» железистый
цемент. Липецкий район. Увел. 80.
(По Л. В. Пустовалову, 1933).

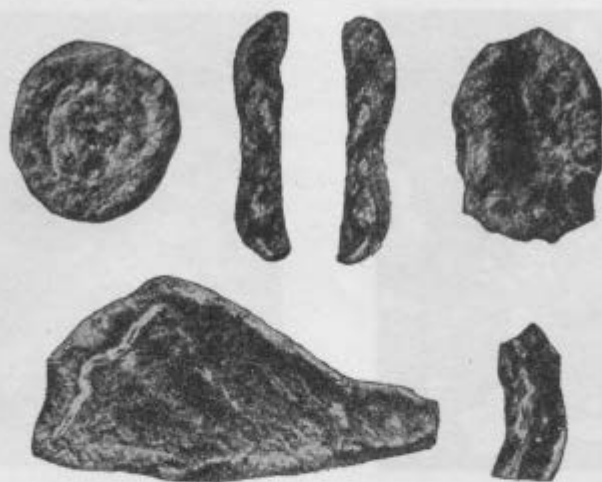


Фиг. 1. «Блинчатая руда» из современного озера в Карелии (слева) и из древних озерных рудных отложений Липецкого района (справа). 0.5 натур. вел. (По Л. В. Пустовалову, 1933).



Фиг. 2. Группа «сферолитовых» рудных зерен, состоящих из псиломелана и пиролюзита. В цементе между зернами сажистый пиролюзит. Нагорье Перевиси. Полированный шлиф. Увел. 18. (По А. Г. Бетехтину, 1937).

ТАБЛИЦА XLI



Фиг. 1. Современные железо-марганцевые конкреции.
(По Я. В. Самойлову и А. Г. Титову, 1917).

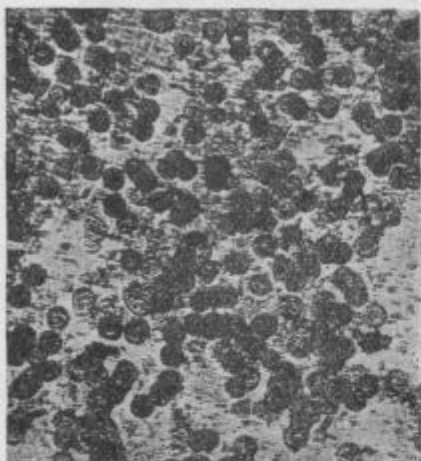


Фиг. 2. Желвак баритолита из оксфордско-секванских глин окрестностей г. Костромы.
(По Я. В. Самойлову, 1910).

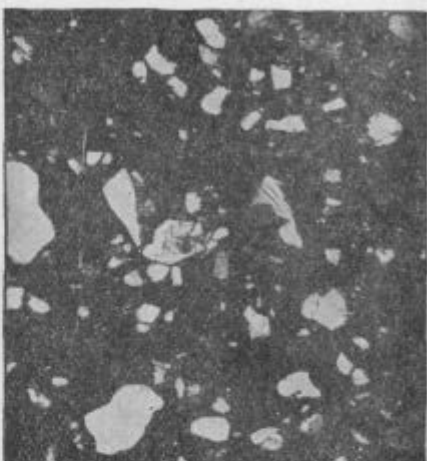


Фиг. 3. Полированный шлиф псевдоморфоз халькокина по древесине.
Увел. 320.

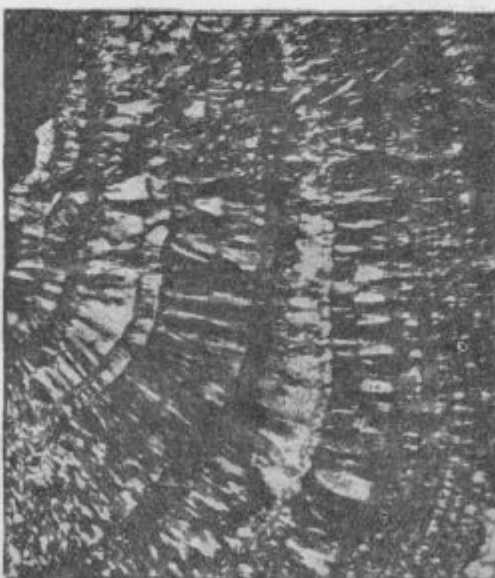
(По И. С. Яговкину, 1932).



Фиг. 1. Трепел, состоящий из «опаловых телец» под микроскопом.
Увел. 225. (По Л. Кайэ, 1916).

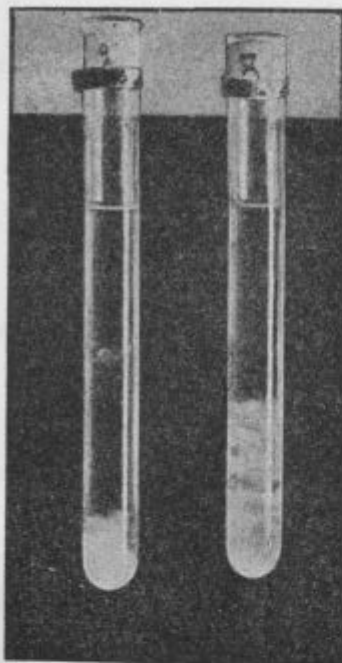


Фиг. 2. Опока под микроскопом (при скрещенных николях). Увел. ок. 100.
(По Я. В. Самойлову, 1925).



Фиг. 3. Микрофотография кремния с концентрической структурой. Увел. 45.
(По Л. Кайэ, 1916).

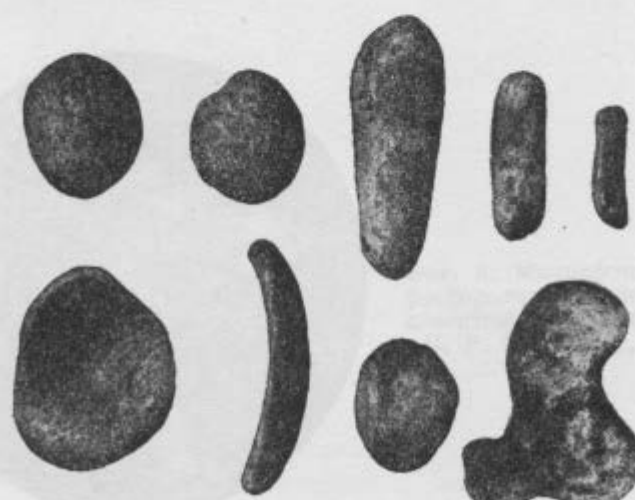
ТАБЛИЦА XLIII



Фиг. 1. Нерастворимый осстаток, состоящий из коллоидной SiO_2 , выделенный из каширских карбонатных пород Верхнего Поволжья, весьма богатых кремнями. (По Л. В. Пустовалову, 1937).



Фиг. 2. Яшма.
(По Л. Кайз, 1897).



Фиг. 3. Желваки фосфоролитов. (По Я. В. Самойлову, 1915).

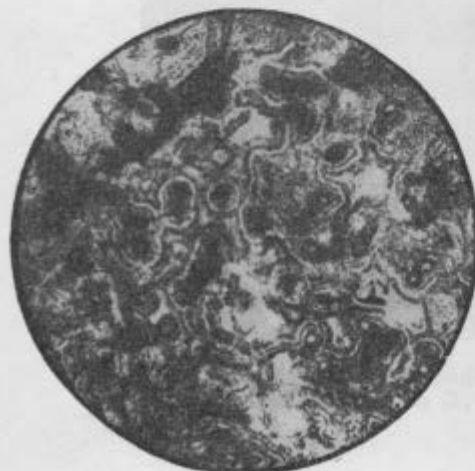
ТАБЛИЦА XLIV



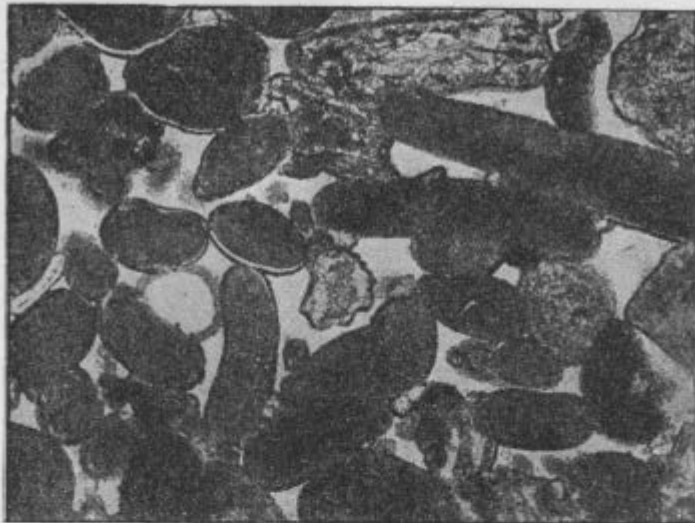
Фиг. 1. Тонкослоистый артинский фосфоролит. Приуралье.
Натур. вел. (Музей Моск. нефт. ин-та).



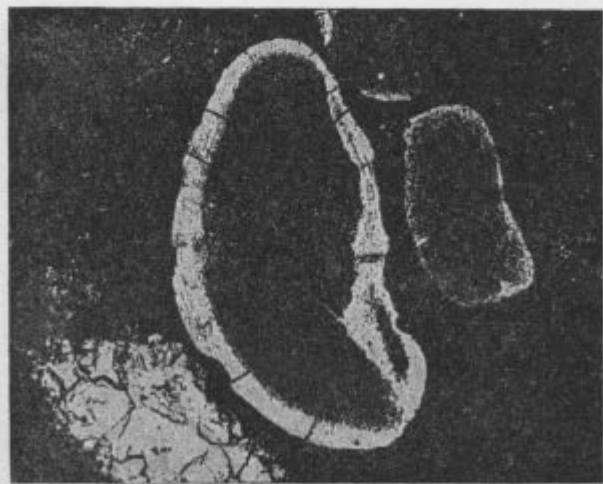
Фиг. 2. Радиально-лучистое строение подольского фосфоролита. Натур. вел. (Музей Моск. нефт. ин-та),



Фиг. 3. Микрофотография фосфоролита с пленочным цементом. Увел. 50. (По Я. В. Самойлову, 1914).



Фиг. 1. Округлые зерна глауконита. Увел. 60.
(По А. Гаддингу, 1932).



Фиг. 2. Зерно глауконита с радиально-лучистым ободком.
Увел. 100. (По Л. Кайз, 1916).

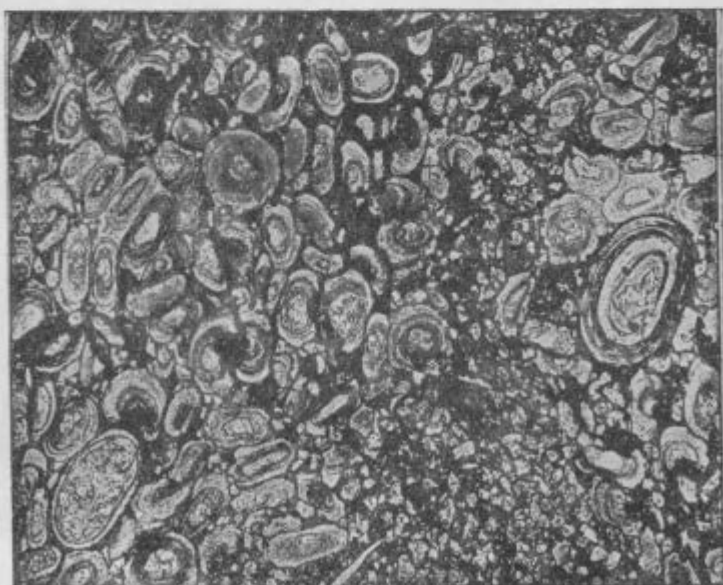
ТАБЛИЦА XLVI



Фиг. 1. «Волокнистый» глауконит. (По Л. Кайз, 1916).

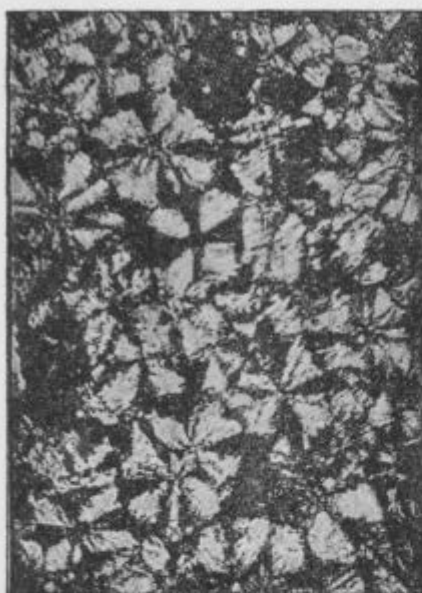


Фиг. 2. Зерно полевого шпата с глауконитом по трещинкам спайности. (По Л. Кайз, 1916).

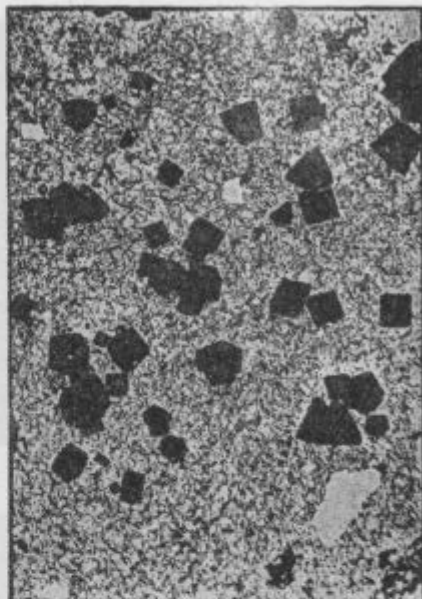


Фиг. 3. Оолитовая структура шамозитолита. Увел. 22. (По Л. Кайз, 1916).

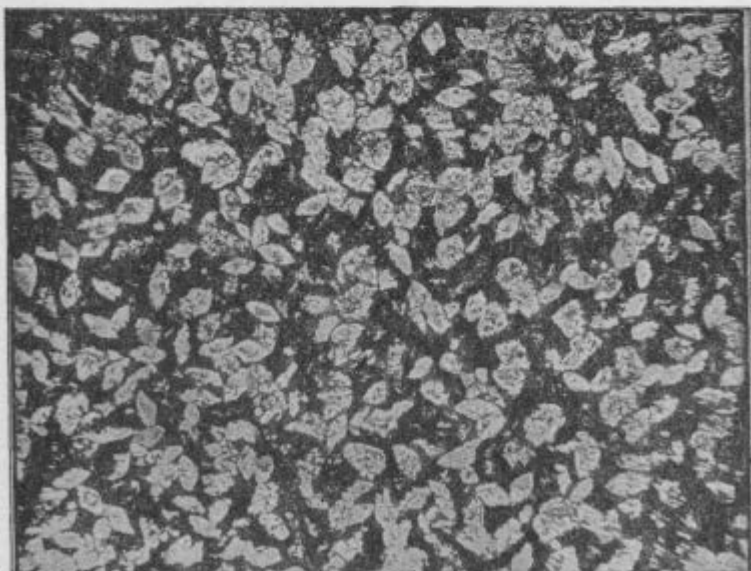
ТАВЛИЦА XLVII



Фиг. 1. Микросферулитовый сидеритолит при скрещенных николях. Увел. 35. (По Л. Кайэ, 1916).

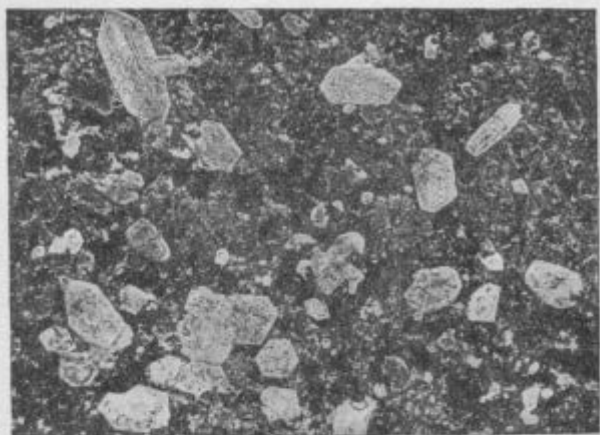


Фиг. 2. Кристаллы пирита в пелитоморфном сидеритолите. Увел. 35. (По Л. Кайэ, 1916).

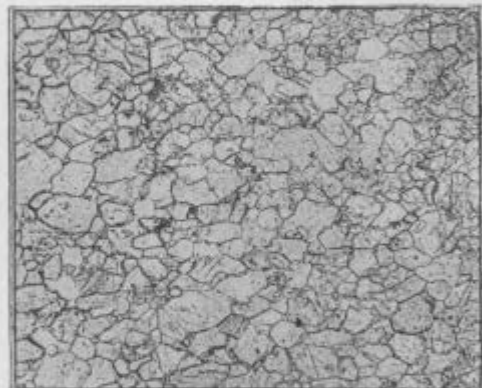


Фиг. 3. Ромбоэдрический сидеритолит. Увел. 100. (По Л. Кайэ, 1916).

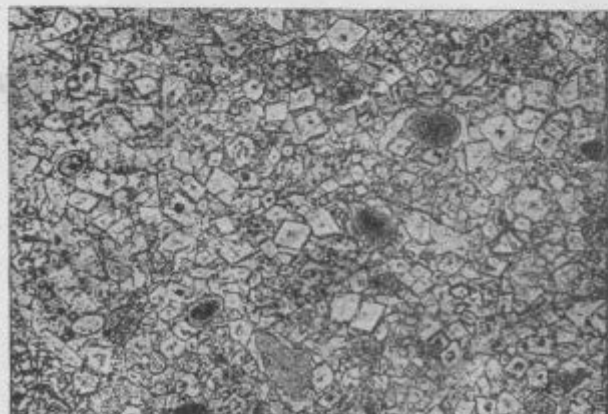
ТАБЛИЦА XLVIII



Фиг. 1. Эпигенетические кристаллы кварца в кальцитолите.
Увел. 15.
(По Л. Кайз, 1916).



Фиг. 2. Кристаллическая
(Кристаллобластическая)
структура кальцитолита.
Увел. 45.
(По Л. Кайз, 1916).

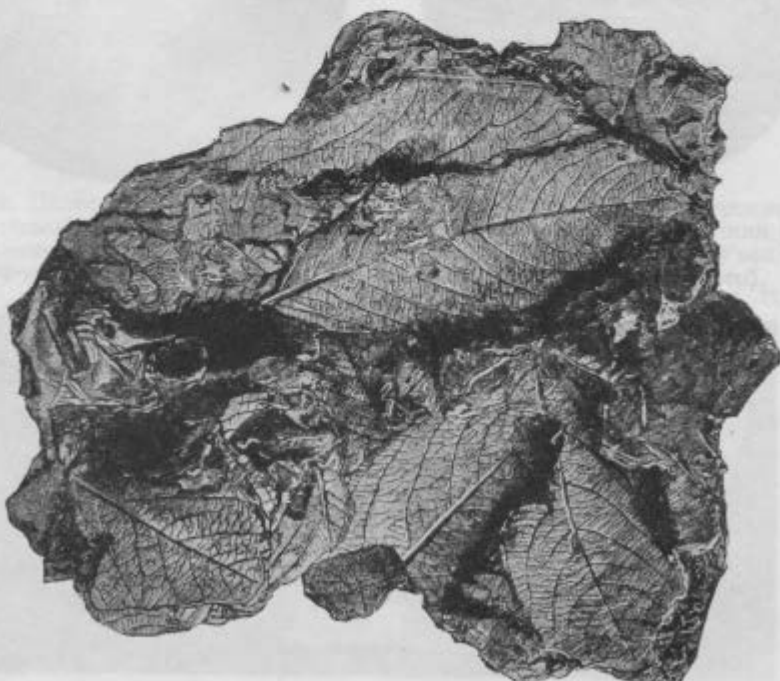


Фиг. 3. Идиобла-
стическая структура кальцитоли-
та. Увел. 35. (По
Л. Кайз, 1916).

ТАБЛИЦА XLIX



Фиг. 1. Микрофотография мела, особо богатого глобигеринами. Общий Сырт. Увел. 45.
(По А. Д. Архангельскому, 1911).



Фиг. 2. Известковый туф; натур. вел. (По М. Неймастру, 1903).

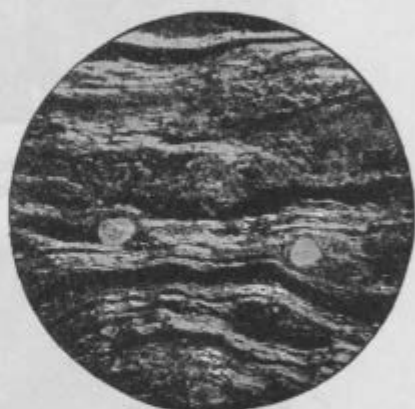
ТАБЛИЦА L



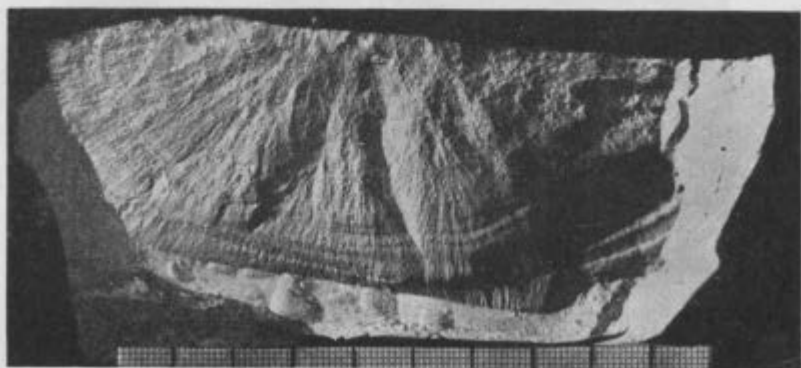
Фиг. 1. Гора-одиночка Тра-тау; вид с запада.
(Фот. А. А. Калашникова).



Фиг. 2. Целестин среди пелитоморфного доломита. Кунгурский ярус.
Туймазы. Николи+. Увел. 80.
(Фот. В. П. Флоренского).

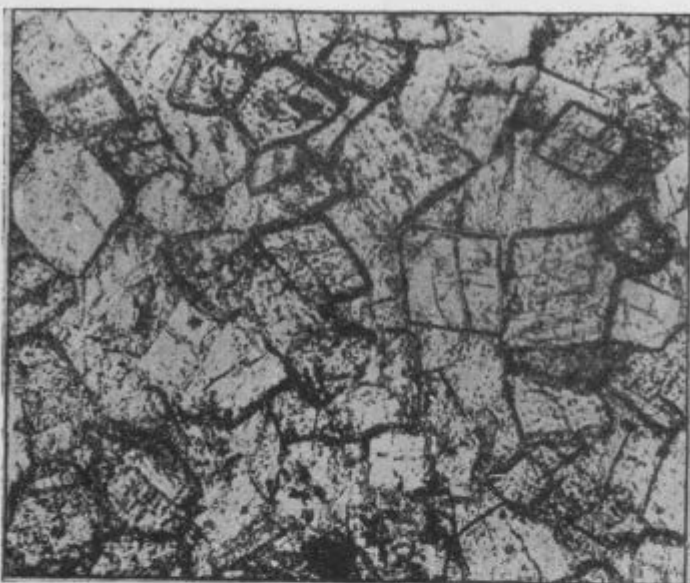


Фиг. 3. Выделения палыгорскита в
доломитовой породе. Муромский р-н;
верхняя пермь. Николи+. Увел. 60.
(Фот. В. П. Флоренского).



Фиг. 4. Раковистый излом доломитолита из окрестностей
г. Зубцова. (Музей Моск. нефт. ин-та).

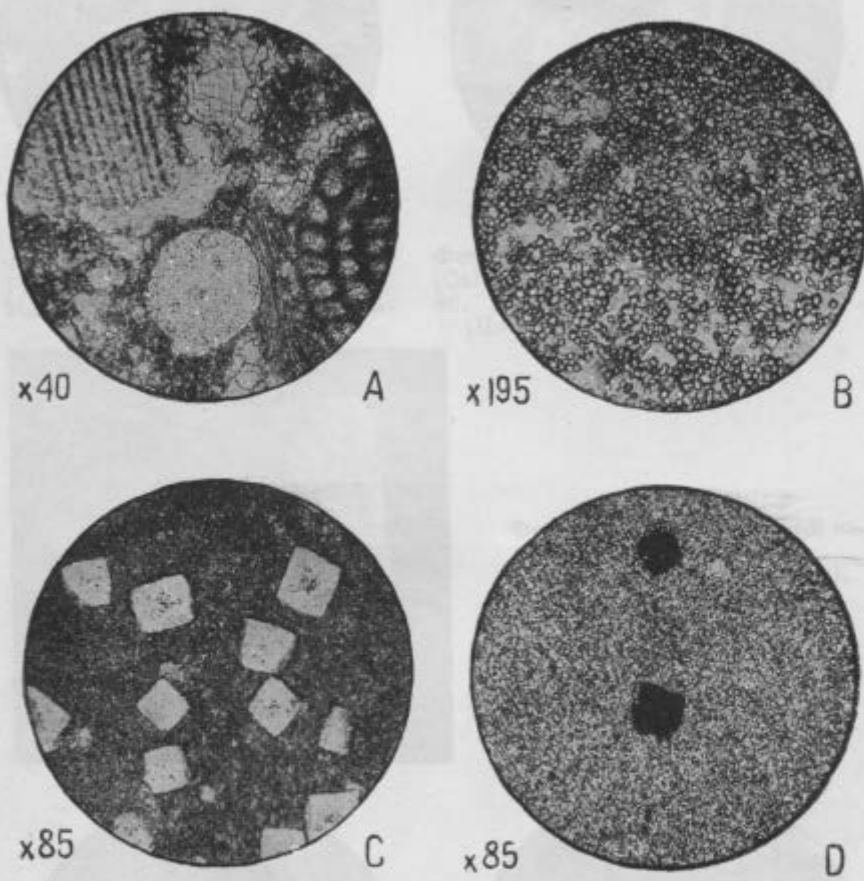
ТАБЛИЦА LI



Фиг. 1. Микроромбоэдрическая структура доломитолита.
Увел. 180. (По Л. Кайэ, 1935).



Фиг. 2. Микроскопические ромбоэдры доломита с
зонарным строением. Увел. 70. (По Л. Кайэ, 1935).



Фиг. 1. Каширские карбонатные породы Верхнего Поволжья.
(По Л. В. Пустовалову).

A — шламмово-органогенный нальцитолит (низ периода); *B* — пелитоморфно-кристаллический доломитолит (средина периода); *C* — пелитоморфный доломитолит с кристалликами CaF_2 (верх периода); *D* — то же, с пустотами, оставшимися от выщелачивания CaF_2 ; николи +.

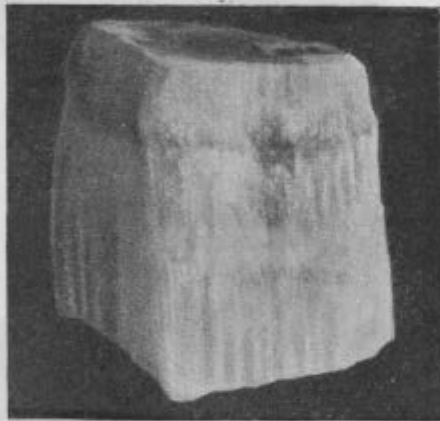
ТАБЛИЦА LIII



Фиг. 1. Оолитовый доломитолит. Туймазы. Кунгурский ярус. Увел. 50. (Фот. В. П. Флоренского).



Фиг. 2. Округлые тельца ратовкита (CaF_2) в карбонатной породе. Увел. 80. Николи+. Калининская обл. (По Л. В. Пустовалову, 1937).



Фиг. 3. Селенинит («луинный камень»). Натур. вел. (Фот. В. П. Флоренского).

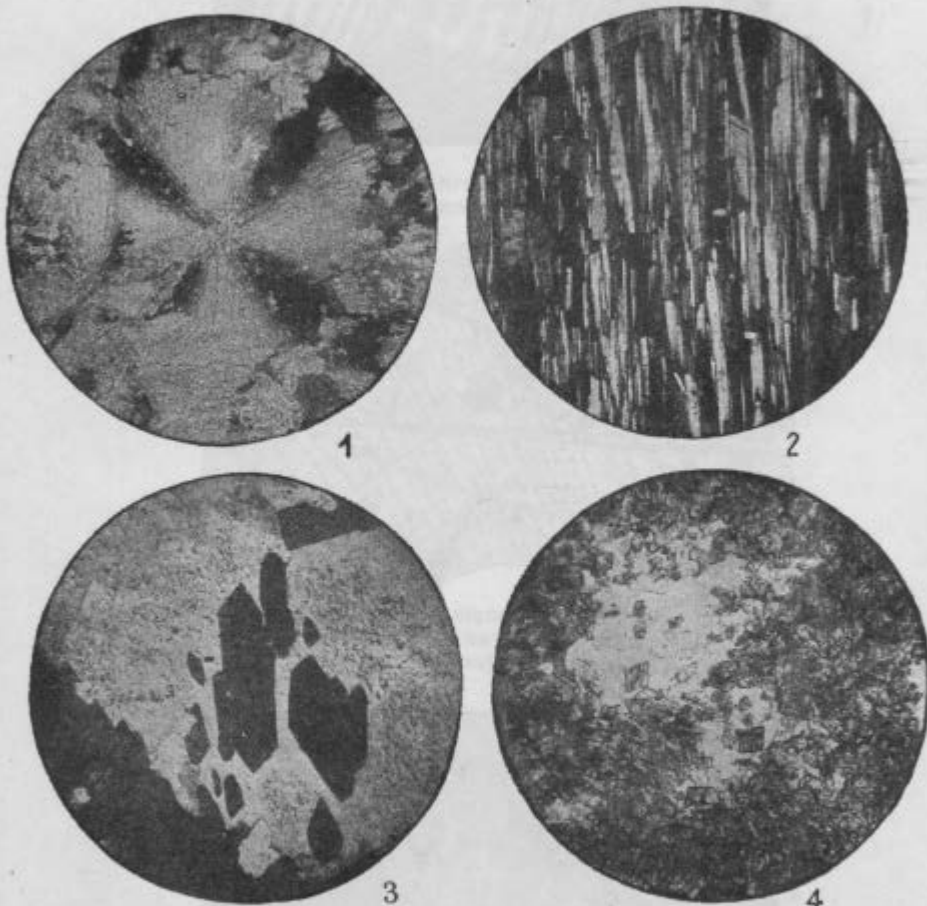


Фиг. 4. Волокнистая структура гипсолита. Увел. 80. (Фот. В. П. Флоренского).



Фиг. 5. Кристаллы целестина в ангидритолите. Туймазы. Кунгурский ярус. Увел. 80. Николи+. (Фот. В. П. Флоренского).

ТАБЛИЦА LIV

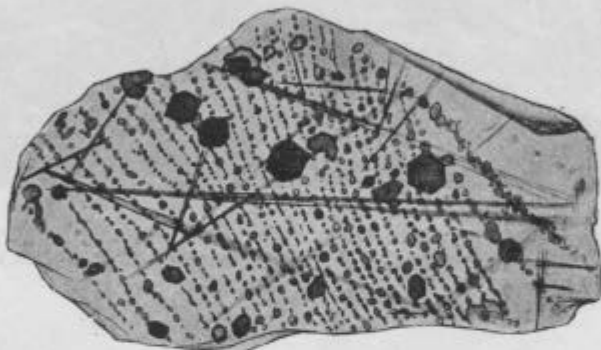


Фиг. 1. Сульфатолиты под микроскопом. Туймазы. Кунгурский ярус.
Увел. 80. (Фот. В. П. Флоренского).

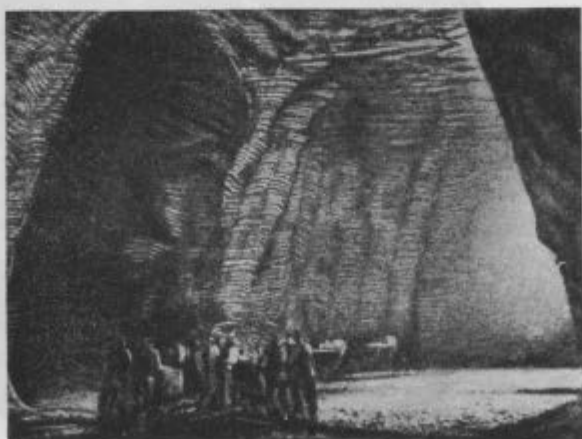
1 — ангидритолит сферолитовый (николи +); 2 — волокнистый гипсолит (николи +),
3 — гипсолит с пойкилитовой структурой (николи +); 4 — идиоморфные кристаллики
доломита в ангидритолите.



Фиг. 1. Прослой ангидрита, деформированный вследствие гидратации. (По Э. Вейншенику, 1934).



Фиг. 2. Чешуйки железного блеска в соликамском карналитолите. Увел. 500.
(По Е. Э. Раумовской, 1927).

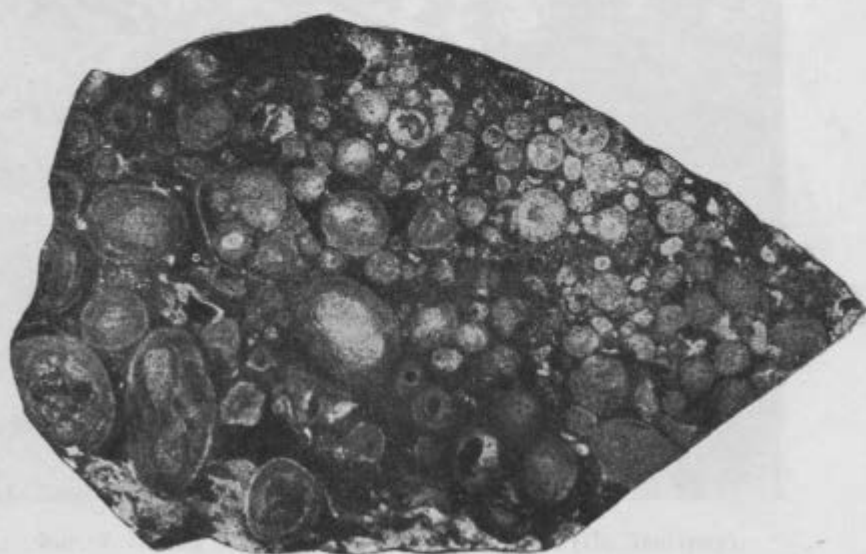


Фиг. 3. Годичные полосы среди каменной соли. Брянцевские копи. Украина.

ТАБЛИЦА LVI



Фиг. 1. Сорокаметровое обнажение слоистого аквалита
(ледник Антарктики). (Фот. Е. Филиппи, 1902).



Фиг. 2. Образец «пизолитового» боксита.

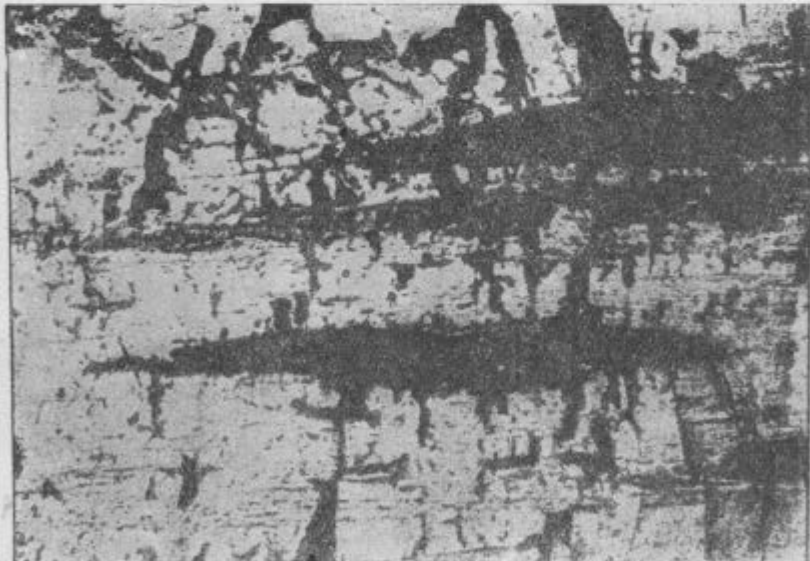
ТАБЛИЦА LVII



Фиг. 1. Полосчатый бурый уголь
Гусиноозерского месторождения.
Забайкалье.

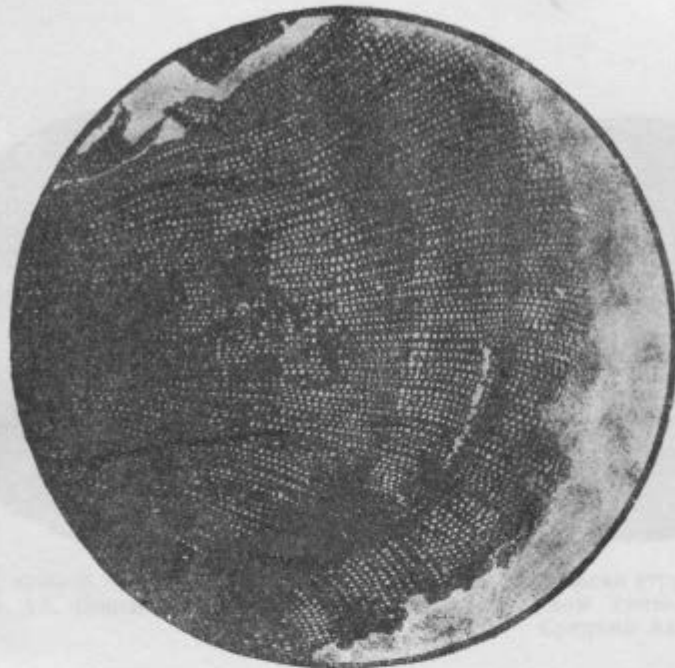


Фиг. 2. Полосчатый уголь
пласта Нового Караганда.
(По А. А. Любер).



Фиг. 3. Линзы фузена в полублестящем угле. (По Дюпарку).

ТАБЛИЦА LVIII



Фиг. 1. Фюзен в проходящем свете. Увел. 70. Черновские копи. Забайкалье.



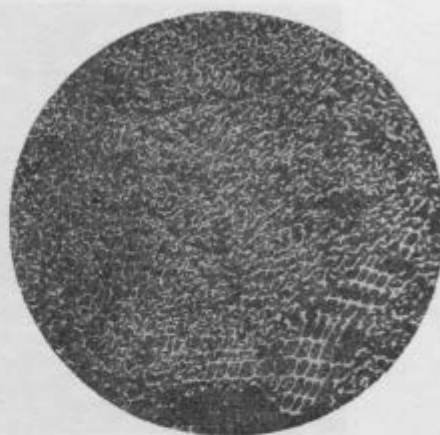
Фиг. 2. Матовый уголь (дюрен) Подмосковного бассейна.



Фиг. 3. Клареновский уголь Челябинского месторождения.



Фиг. 1. Фюзен в отраженном свете.
Увел. 98. Донецкий антрацит.



Фиг. 2. Звездчатая структура фюзена
в отраженном свете. Кок-Янгак.
Средняя Азия.



Фиг. 3. Микроструктура дюрена в
проходящем свете. По С. Н. Наумо-
вой. (Видны микроспоры в основной
массе).

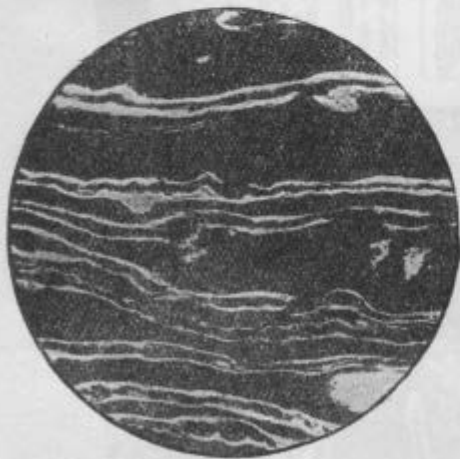


Фиг. 4. Микроструктура дюрена
в отраженном свете. Увел. 90.

ТАБЛИЦА LX



Фиг. 1. Макроспоровый дюрен Победенского месторождения.
Подмосковного бассейна. Увел. 70. (По С. Н. Наумовой).

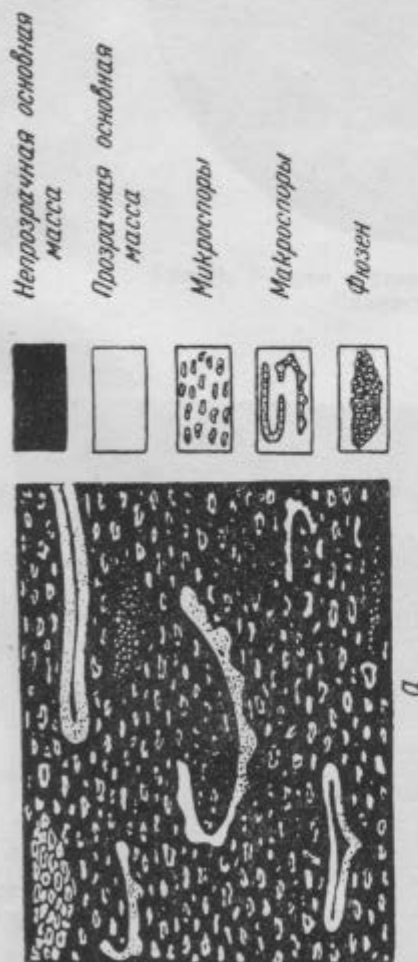


Фиг. 2. Кутинуловый дюрен. Юрский
уголь, Кузбасс.
(По З. В. Ергольской).



Фиг. 3. Смолянные тельца в дюрене.
Увел. 180. Тквибульский уголь.

ТАБЛИЦА LXI



Фиг. 1. Схематическое изображение трех типов дюrene.
(По И. Э. Вальц).

а — с непрозрачной основной массой;
в — с прозрачной и прозрачной основной массой; с — с одиной прозрачной основной массой.

ТАБЛИЦА LXII

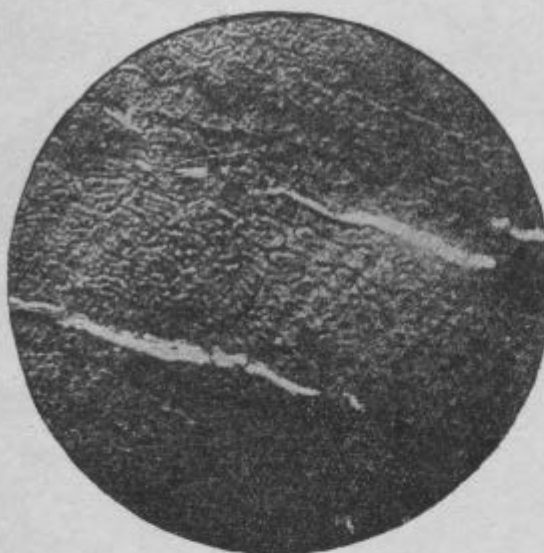


Фиг. 1. Кларен в отраженном свете. Увел. 80.
Ленинское м-ние

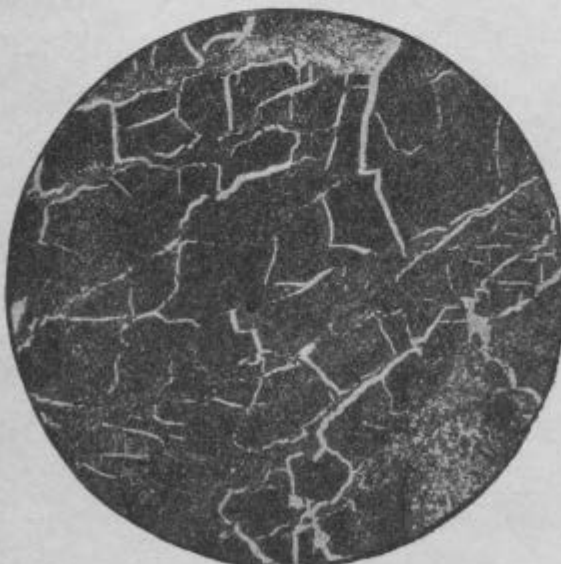


Фиг. 2. Кларен в проходящем свете. Увел. 53. Челябинское м-ние.

ТАБЛИЦА LXIII



Фиг. 1. Структурный витрен Тогускена в проходящем свете. Увел. 325.
(По З. В. Ергольской).



Фиг. 2. Витрен с трещинами сокращения.
Увел. 20.

